Cours de Chimie Générale Avancée

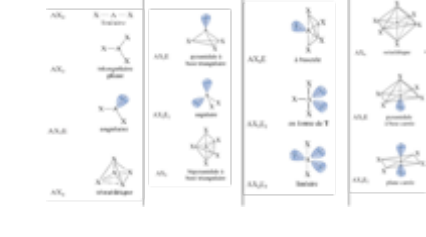
Mardi, 8:15 – 10:00 et 11:15 – 12:00

Prof. Dr. Andreas ZÜTTEL

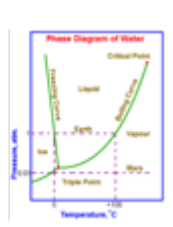
- 1. Structure de la matière (1 + 2)
- 2. Liaisons chimiques et réactivité (3 + 4)
- 3. Thermodynamique (5 + 6)
- 4. Acides et bases (7)
- 5. Electrochimie (8)
- 6. Cinétique chimique (9)
- 7. Propriétés des solutions (11)
- 8. Propriétés des métaux (12)
- 9. Chimie de la surface (13)

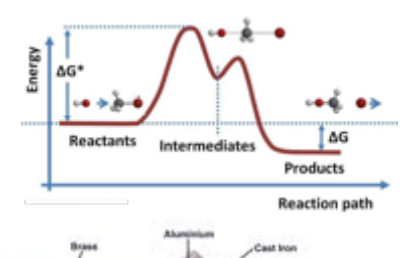






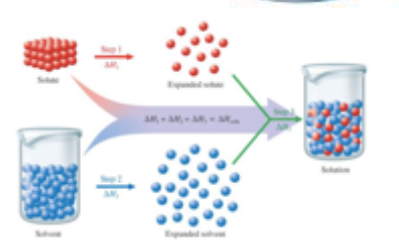


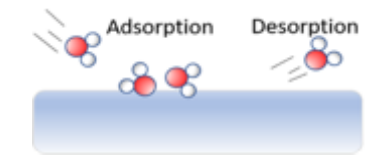












1. Structure de la matière

1.1. Composition de la matière

- 1.1.1. L'existence des atomes
- 1.1.2. Model du mouvement d'un particule
- 1.1.3. L'existence des atomes est devenue visible
- 1.1.4. Division de l'or en atomes
- 1.1.5. Nombre d'atome a la surface et dans le volume d'un particule

1.2. Le modèle classique de l'atome

- 1.2.1. Modèle (semi-)quantique de Bohr pour l'atome (1913)
- 1.2.2. Radiations émises par des atomes d'hydrogène excités
- 1.2.3. Niveau énergétique dans l'atome de Bohr
- 1.2.4. Calcule de l'energie de l'electron pour l'atome de Bohr

1.3. L'electron

- 1.3.1. Dualité Onde-Corpuscule
- 1.3.2. longueur d'onde de Broglie

1.4. Mécanique quantique

- 1.4.1. Le spectres du corps noir (Planck)
- 1.4.2. Les état intriqué
- 1.4.3. Le principe de superposition « chat de Schrödinger »

1.5. La lumière (le photon)

- 1.5.1. La nature ondulatoire de la lumière
- 1.5.2. Lumière comme particule: Photons et quanta
- 1.5.3. Effet photoélectrique

1.6. Limite du modèle de Bohr

1.7. Le modèle ondulatoire de l'atome

- 1.7.1. Différences entre le modèle de Bohr et de Schrödinger
- 1.7.2. Equation de Schrödinger
- 1.7.3. La solution de l'équation de Schrödinger
- 1.7.4. Description des solutions de l'équation de Schrödinger
- 1.7.5. Représentation géométrique des orbitales 1s $(Y_{1,0,0})$ et 2s $(Y_{2,0,0})$

1.8. Les quatre nombres quantiques

- 1.8.1. Couches, sous-couches et orbitales
- 1.8.2. Les orbitales s, p, d (les fonctions d'onde $Y_{n,l,m}$)
- 1.8.3. Représentation géométrique des orbitales s, p, d, f

1. Structure de la matière

1.10. Configuration électronique des atomes

- 1.10.1. Répartition des électrons autour du noyau
- 1.10.2. Nomenclature de la configuration électronique
- 1.10.3. Stabilité et configuration électronique des éléments
- 1.10.4. Règle de Klechkowsky ou principe de stabilité

1.11. Tableau périodique

- 1.11.1. Orbitales et énergie des électrons
- 1.11.2. Résumé
- 1.11.3. Configuration électronique des éléments
- 1.11.4. HISTOIRE: Le tableau périodique des éléments
- 1.11.5. Le tableau périodique et le principe de l'Aufbau
- 1.11.6. Exceptions à la règle de l'Aufbau

1.12. Propriété des éléments: Tendances périodiques

- 1.12.1. Définition Rayon atomique
- 1.12.2. Demi distance entre les centres d'atomes voisins
- 1.12.3. Charge nucléaire effective
- 1.12.4. Rayon atomique des éléments
- 1.12.5. Rayon atomique et ionique [Å] pour les group 1, 2,
- 3, 6, 7

1.13. Energie d'ionisation

- 1.13.1. Valeur expérimentale de l'énergie de première ionisation
- 1.13.2. Anomalie Schrödinger (influence de la souscouche

1.14. Affinité électronique (AE)

1.14.1. Valeur expérimentale de affinité électronique (AE)

1.15. Electronégativité

- 1.15.1. Electronégativité (Pauling)
- 1.15.2. Tendance de l'électronégativité (Pauling)
- 1.15.3. Différent définition de l'electronégativité
- 1.15.4. Electronégativité et l'énergie d'ionisation

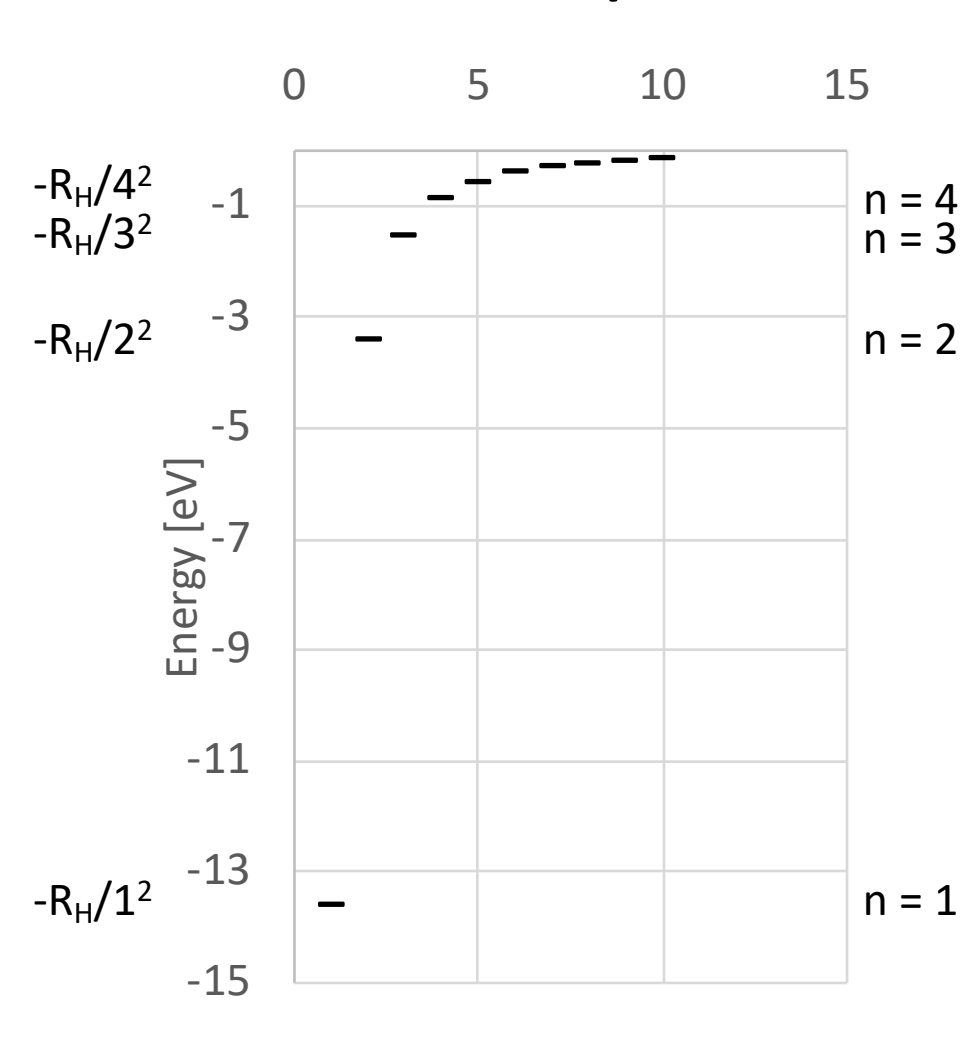
1.16. Tendances périodiques

- 1.16.1. Métaux et non-métaux
- 1.16.2. Abondance des éléments par rapport au 10⁶ Si

1.17. Règle de l'octet pour les éléments des blocs s et p

- 1.17.1. Eléments de la colonne 1: métaux alcalins
- 1.17.2. Eléments de la colonne 17 Halogènes

1.2. Le modèle classique de l'atome



Les niveaux les plus stables correspondent aux orbites proches du noyau et ont une faible énergie (grande énergie négative)

Ionisation: E = 0 pour n = infini

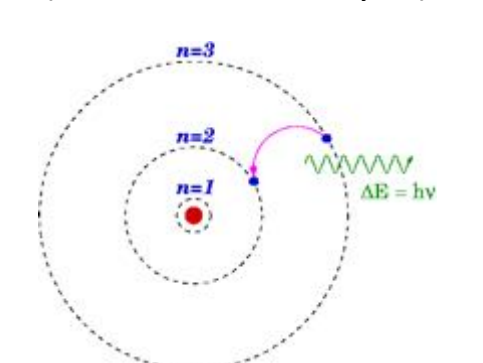
$$E_{n} = -\frac{R_{H}}{n^{2}}$$

 $R_{H} = 2.179 \cdot 10^{-18} \text{ J} = 13.6 \text{ eV}$ Constant de Rydberg

Convention:

1: le zéro correspond à l'électron libre

2: l'énergie notée négativement (électron lié au noyau)



Photon:

$$\lambda = \frac{h \cdot c}{\Delta E}$$

De Broglie:

$$\lambda = \frac{h}{p} = \frac{h}{m \cdot v} \sqrt{1 - \frac{v^2}{c^2}}$$

 $2\pi r = 3 \cdot \lambda$

Relativiste v < c

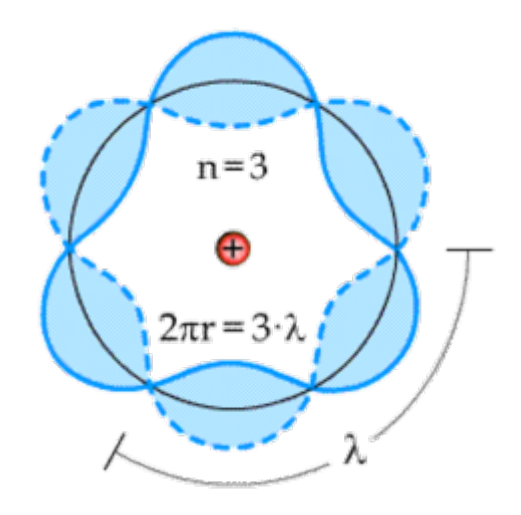
1.7. Le modèle ondulatoire de l'atome

Modèle de Bohr

L'électron est décrit comme une particule avec une trajectoire précise.

Lois de la mécanique classique selon Newton.

Case quantique: définit seulement le niveau d'énergie de l'électron (orbite)

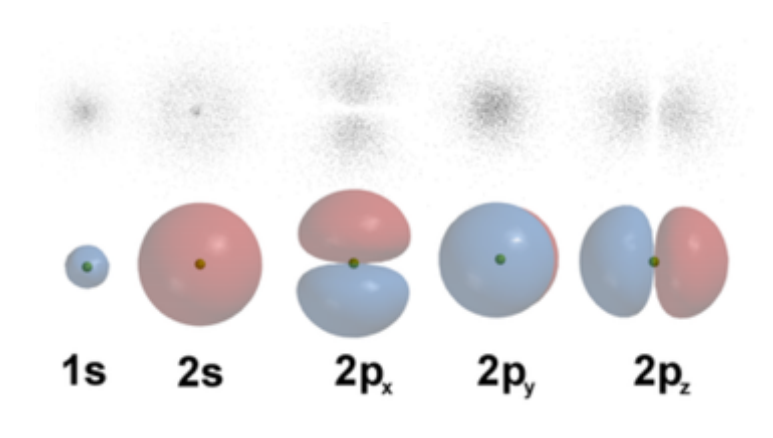


Ondulatoire (Schrödinger)

L'électron est décrit par une fonction d'onde Ψ liée à la probabilité de présence.

Lois de la mécanique quantique selon Schrödinger.

Orbitale: définit à la fois le niveau d'énergie et la probabilité de présence de l'électron.



1.8. Les quatre nombres quantiques

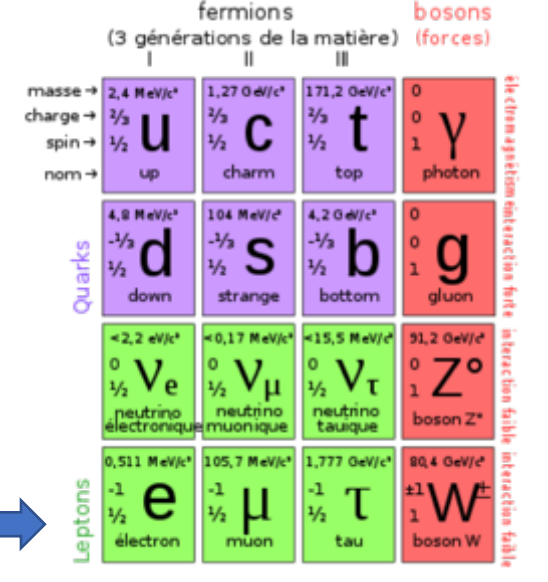
L'état d'un électron dans un atome (énergie, région d'espace) est défini par quatre nombres quantiques

$$m$$
 l m_1 m_s (principal) (secondaire) (magnétique) (spin) $n \ge 1$ $0 \le l \le n-1$ $-l \le m_1 \le l$ $\pm 1/2$

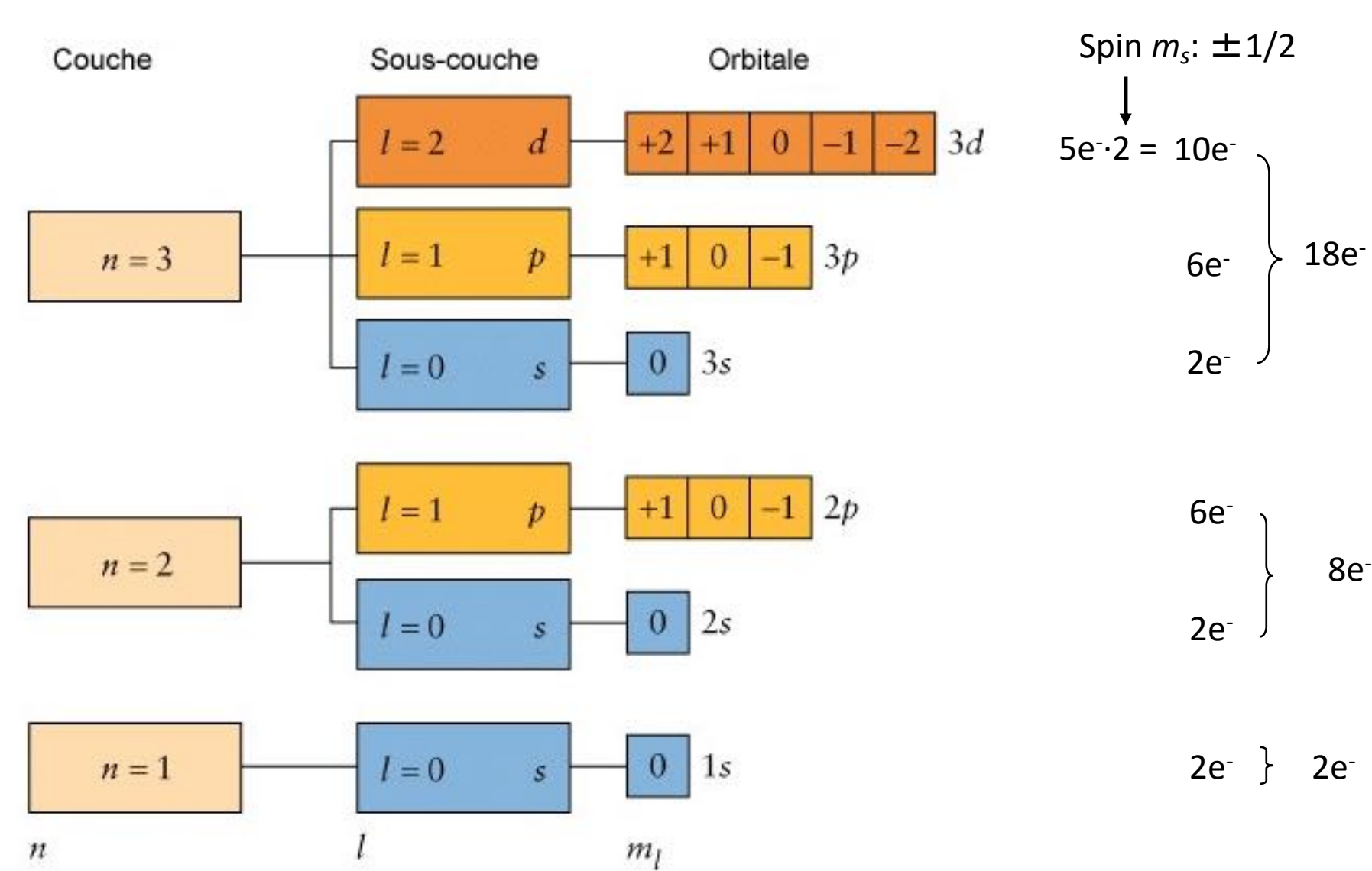


Principe d'exclusion de Pauli: Dans un atome, il ne peut exister deux électrons définis par le même groupe de quatre nombres quantiques.

La règle de Hund: L'arrangement le plus stable est celui correspondant au maximum d'électrons de spins parallèles.



1.8.1. Couches, sous-couches et orbitales



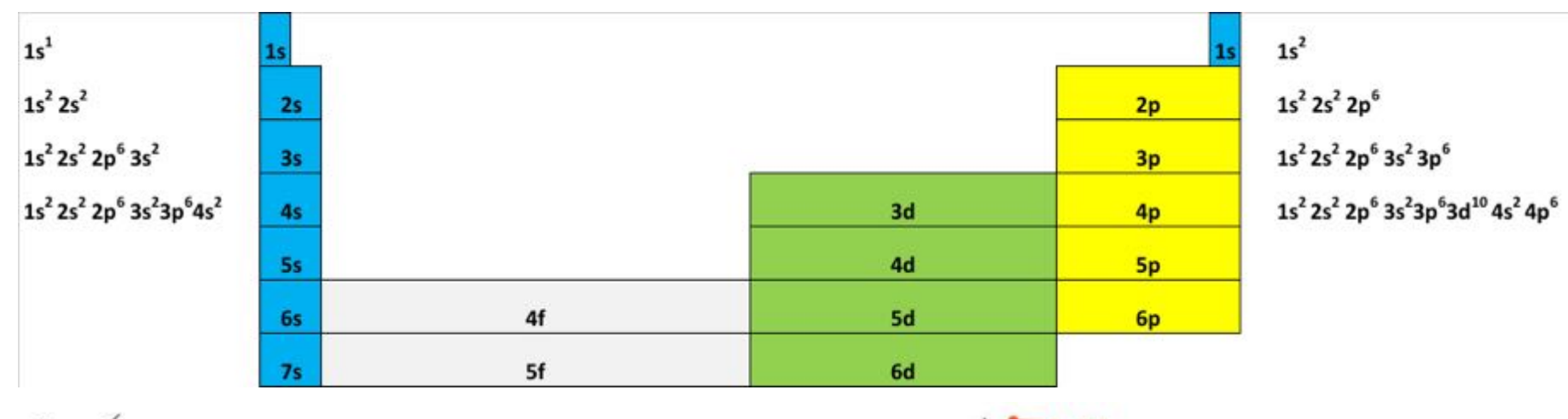
Nombres d'électrons : 2n²

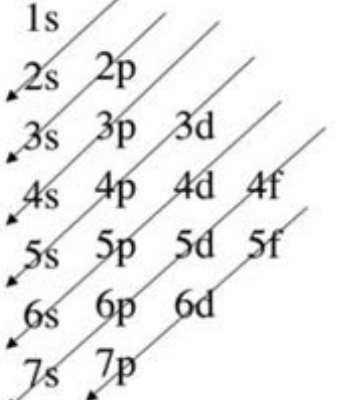
1.8.2. Les orbitales

	s (I=0) m=0 s	p (I=1)			d (I=2)				f (I=3)							
		2 2 2	m=±1		m=0	m=±1		m=±2		m=0	m=±1		m=±2		m=±3	
			p _x	ру	, d _z :	d _{xz}	d _{yz}	d _{xy}	d _{x²-y²}	fz³	f _{xz²}	f _{yz²}	f _{xyz}	$f_{z(x^2-y^2)}$	$f_{x(x^2-3y^2)}$	$f_{y(3x^2-y^2)}$
n=1	E							n principal		l secondaire		m _l magnétique		m _s spin		
n=2	•							n	≥ 1	0 :	< l <	n-1	<i>-l</i> ≤	$m_l \leq$	1	$\pm \frac{1}{2}$
n=3	•	3	00		-	***************************************	8		00							
n=4	•	3	00		-	*	2		•	*	*	*	*	35	000	90
n=5	•	3	00	0	*	*	2	10)	00							
n=6	9	3	00													•••
n=7																

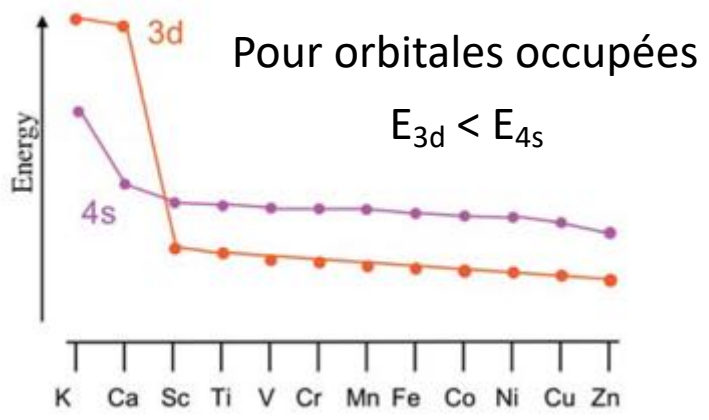
1.10. Configuration électronique et 1.11. tableau périodique

Découpage du tableau périodique suivant le remplissage des sous-couches.





Les orbitales d à moitié ou complètement remplies sont plus stables



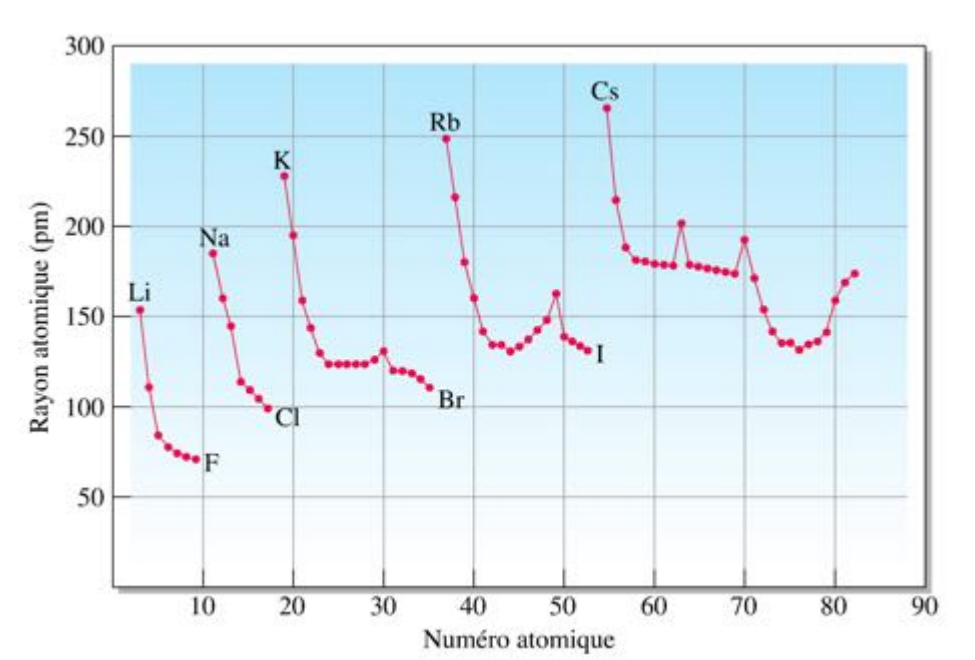
^{*}Les électrons occupent l'orbitale 4s avant l'orbitale 3d (l'atome a une énergie plus basse lorsque l'électron occupe l'orbitale 4s plutôt que 3d).

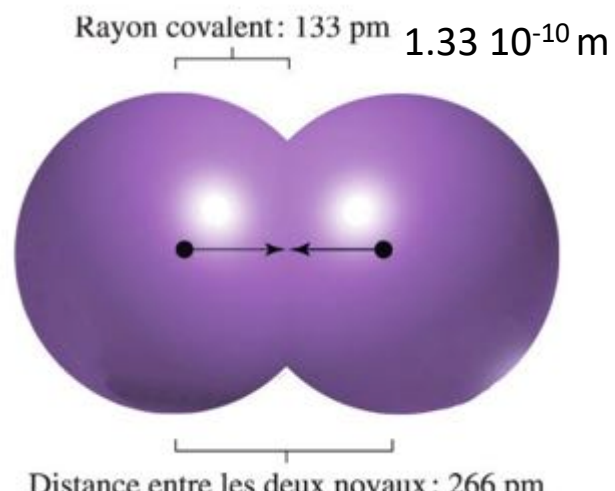
1.12. Propriété des éléments: Tendances périodiques

Rayon atomique

Définitions:

- 1) demi distance entre les centres d'atomes voisins (données expérimentales)
- 2) calcul, mathématiquement l'atome n'est pas fini, on définit une zone où on a 90% de probabilité de trouver les électrons)





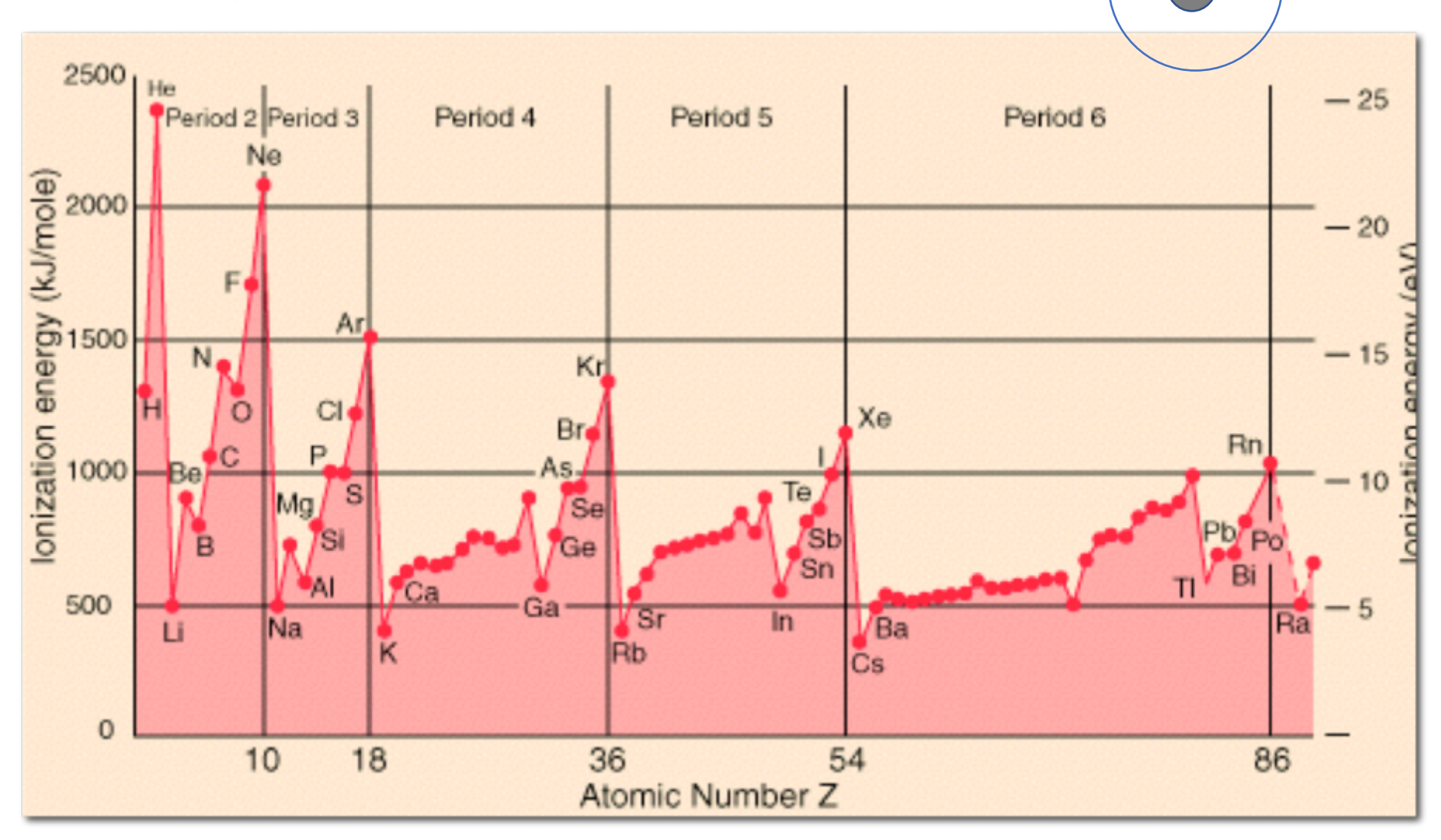
Distance entre les deux noyaux: 266 pm

Tendance périodique: attraction électrostatique entre le noyau et les électrons de valence

le rayon atomique diminue le long d'une période (attraction électrostatique augmente, plus de charges sur le noyau) Z_{eff}

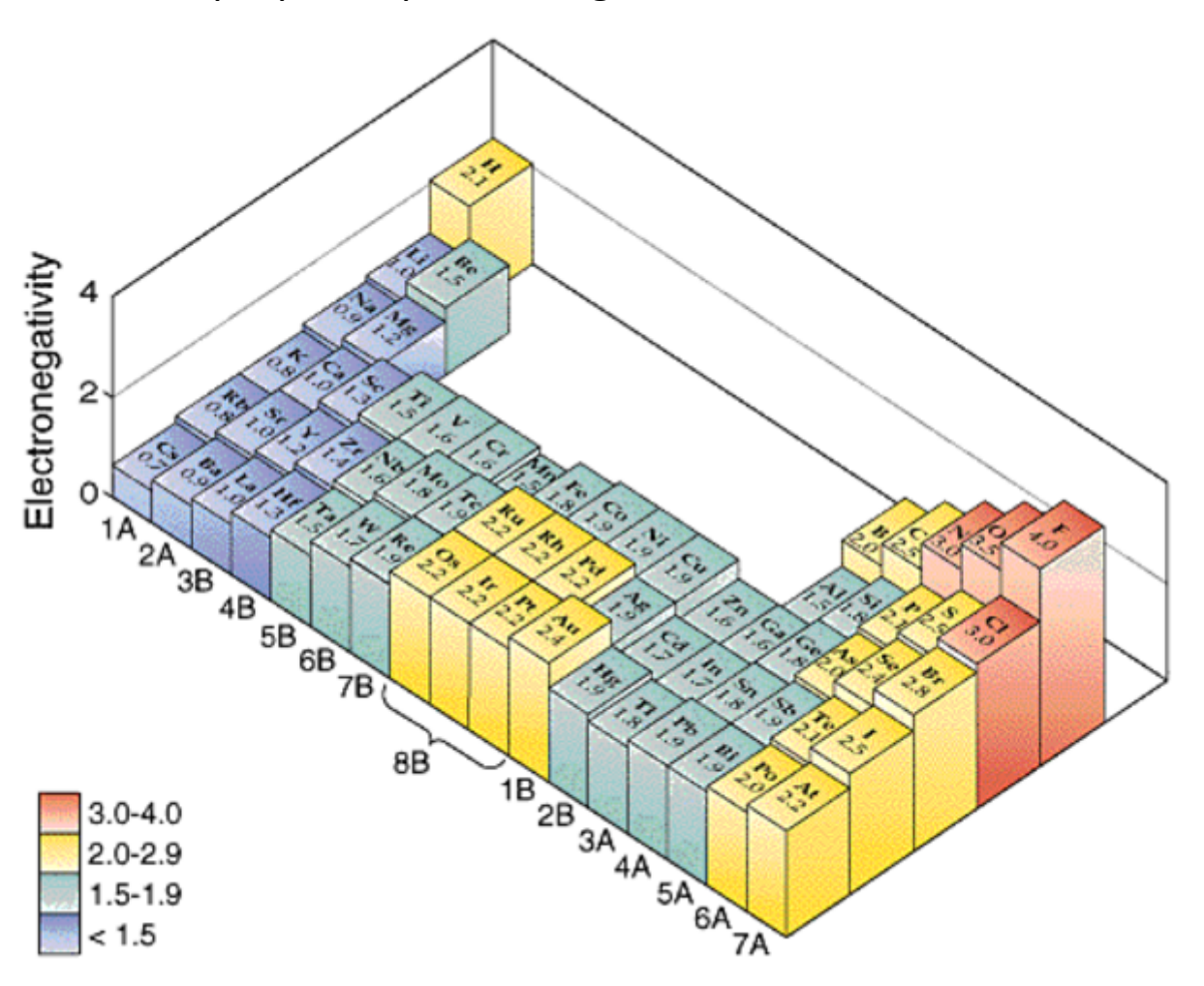
Le rayon atomique augmente entre chaque période (attraction électrostatique diminue car la distance "moyenne" entre l'électron et le novau augmente) r

1.13. Energie d'ionisation



1.15. Electronégativité

Traduit le pouvoir **électroattracteur** d'un atome lorsqu'il est engagé dans une liaison. **Echelle arbitraire** proposée par Pauling allant de 0 à 4.



δ⁺ δ

2.1 3.0

2. Liaisons chimiques et réactivité

2.1. Introduction: Liaison chimique

- 2.1.1. Types de Liaisons (différence d'électronégativité)
- 2.1.2. La conséquence de l'electronégativité pour les liaison
- 2.1.3. Caractère ionique et électronégativité
- 2.1.4. Propriétés des composés ioniques
- 2.1.5. Liaisons polaires et non polaires, Moment dipolaire

2.2. Théorie de Lewis

- 2.2.1. Représentation de Lewis pour les éléments
- 2.2.2. Structure de Lewis: Liaison ionique
- 2.2.3. Méthodologie: Représentation de Lewis (liaisons covalentes)
- 2.2.4. Structure de résonance: exemple l'ozone
- 2.2.5. Charge formelle (CF) d'un atome dans la structure de Lewis
- 2.2.6. Limites de validité de la représentation de Lewis

2.3. La théorie valence shell electron pair repulsion (VSEPR)

- 2.3.1. La théorie valence shell electron pair repulsion (VSEPR)
- 2.3.2. Ecriture des structures de Lewis
- 2.3.3. Structure des molécules
- 2.3.4. Molécule de type A·4: structure tétraédrique
- 2.3.5. Structure des molécules

2.4. Géométrie de molécules

- 2.4.1. Structures du type AX_n et AX_nE_m
- 2.4.2. La polarité des molecules

2.5. Recouvrement des orbitales

2.5.1. Liaison dans le méthane (CH₄): quatre liaison identiques

2.6. Hybridation

- 2.6.1. L'hybridation sp³
- 2.6.2. L'hybridation ne se limite pas au carbone
- 2.6.3. L'hybridation sp² du carbone
- 2.6.4. La double liaison
- 2.6.5. Liaison délocalisée et résonance
- 2.6.6. L'hybridation sp et la triple liaison du carbone
- 2.6.7. Hybridation pour structures ayant une valence étendue
- 2.6.8. Structure des molécules
- 2.6.9. Hybridation des atomes dans une molécule complexe
- 2.6.10. Hybridation des atomes dans une molécule complexe
- 2.6.11. Liaison σ / liaison π
- 2.6.12. Hybridation: sommaire
- 2.6.13. Limites de la théorie de Lewis

2. Liaisons chimiques et réactivité

2.7. La théorie des orbitales moléculaires

- 2.7.1. Combinaison linéaire d'orbitales atomiques
- 2.7.2. Orbital moléculaire de la molécule H₂
- 2.7.3. Orbitale liante et antiliante d'hydrogène (H₂)
- 2.7.4. Ordre de liaison
- 2.7.5. Orbitale liante et antiliante de lithium (Li₂)
- 2.7.6. OM résultant de la combinaison des orbitales atomiques 2p
- 2.7.7. Magnétisme des molécules
- 2.7.8. Ordre et stabilité des liaison

2.8. Forces intermoléculaires

- 2.8.1. Force de Van der Waals, London
- 2.8.2. Comparaison forces intermoléculaires
- 2.8.3. Les propriétés spéciales de l'eau
- 2.8.4. Liaison hydrogène et structure de l'ADN (Acide désoxyribonucléique)
- 2.8.5. App. macroscopique des forces de Van der Waals: le gecko

2.9. Equation chimique

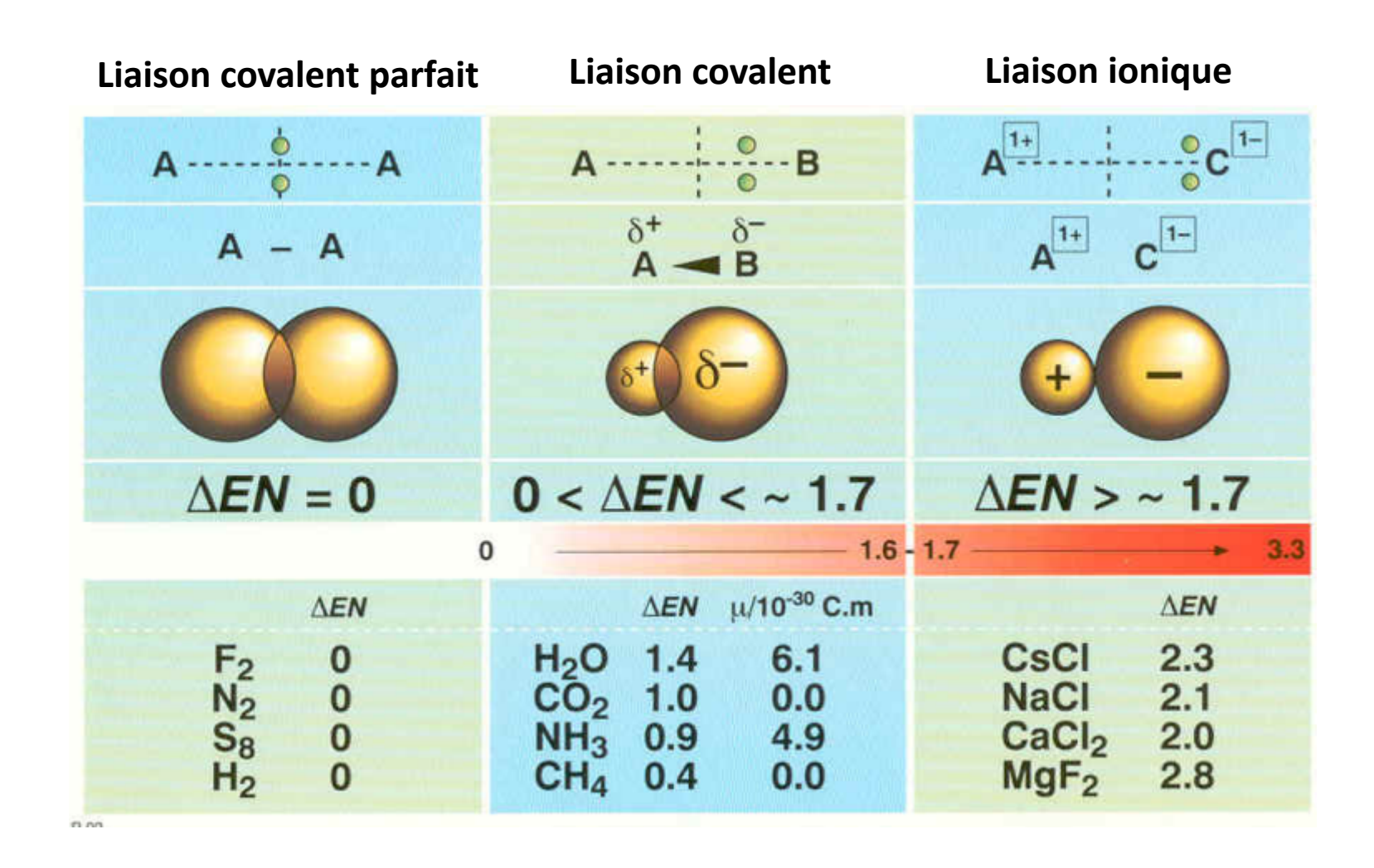
- 2.9.1. Classification des réactions
- 2.9.2. Stoechiométrie
- 2.9.3. La mole
- 2.9.4. Masse molaire de la formules moléculaires
- 2.9.5. Stoechiométrie de la réaction équilibrée
- 2.9.6. Stoechiométrie, masse et volume

2.10. Reaction chimique

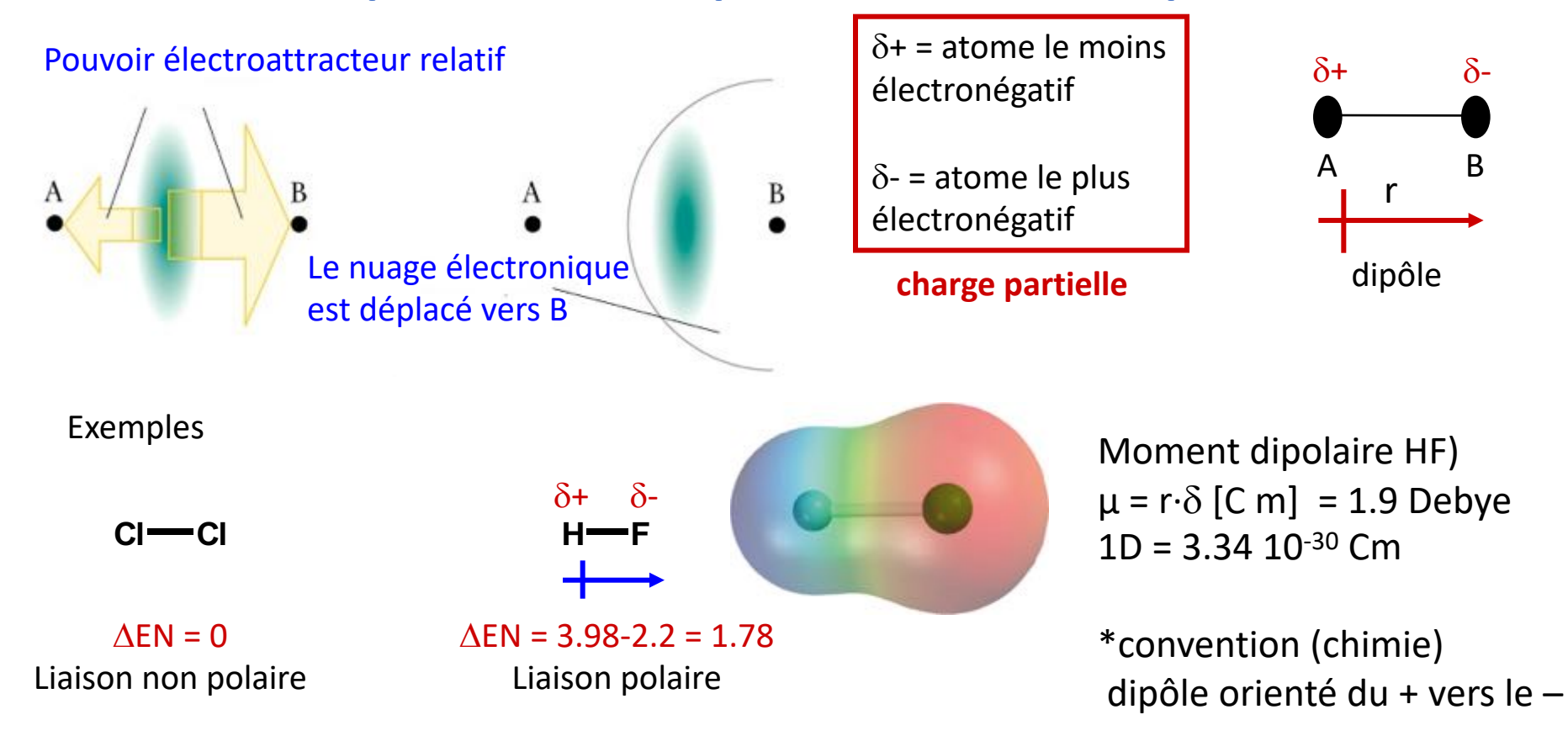
- 2.10.1. Conditions standard
- 2.10.2. Constante des gaz parfaits R
- 2.10.3. Réactif limitant
- 2.10.4. Rendement de formation d'un produit B: η_B [%]
- 2.10.5. Unités de concentrations pour solutions
- 2.10.6. Types de réactions chimiques
- 2.10.7. Réactions avec transfert d'électrons
- 2.10.8. Definition: Oxydant et réducteur
- 2.10.9. Le degré d'oxydation (d.o)
- 2.10.10. Règles définissant le degré d'oxydation
- 2.10.11. Reaction RedOx et le degré d'oxydation
- 2.10.12. Equilibrage de l'équation chimique

2.1. Introduction: Liaison chimique

La conséquence de l'electronégativité pour les liaison



2.1.5. Liaisons polaires et non polaires, Moment dipolaire



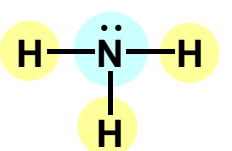
Charge formelle (CF) d'un atome dans la structure de Lewis

$$CF = \begin{bmatrix} \text{nombre d'électrons de valence} \\ \text{dans l'atome libre} \end{bmatrix} - \begin{bmatrix} \text{nombre d'électrons} \\ \text{des paires libres} \end{bmatrix} - \frac{1}{2} \begin{bmatrix} \text{nombre d'électrons de liaisons} \\ \text{liaisons} \end{bmatrix}$$

2.2. Théorie de Lewis (liaisons covalentes) Méthodologie

- 1. Dénombrer les **électrons de valence** de tous les atomes de la molécule ou de l'ion.
- Dessiner le squelette de la molécule en reliant les atomes les uns aux autres par une paire d'électrons; l'atome le moins électronégatif occupe la place centrale. (H, F sont toujours des atomes périphériques)
- 3. Compléter les octets des atomes liés à l'atome central.
- 4. Placer les électrons restants sur l'atome central.
- 5. Si les nombres d'électrons disponibles est insuffisant, introduire des **liaisons multiples** et attribuer les charges de l'ion.

Exemple





Atome périphérique : lié seulement à un autre atome



▶ Atome central : lié à au moins deux autres atomes de la structure

Tutorial (Lewis structures)

http://www.youtube.com/watch?v=ulyopnxjAZ8

http://www.kentchemistry.com/links/bonding/lewisdotstruct.htm

2.3. La théorie valence shell electron pair repulsion (VSEPR)

La méthode VSEPR

La molécule est symbolisée par: A X_n E_p

A: atome central

X: ligand, avec un nombre n

E : doublet électronique libre , de nombre p.

Sans la présence de paires non liantes, la molécule est symbolisée par: A X_n

n+p	Electron Pai	r Arrangement	Molecular Shape	Examples
2		linear 180°	AX ₂ linear	BeCl ₂ , CO ₂
3	\downarrow	trigonal planar 120°	AX ₃ trigonal planar AEX ₂ bent	BCl ₃ , CH ₃ + SnCl ₂ , NO ₂ -
4		tetrahedral 109.5°	AX4 tetrahedral AEX3 pyramidal AE ₂ X ₂ bent	CH ₄ , PO ₄ ³ - NH ₃ , ClO ₃ ⁻ H ₂ O, SeF ₂
5	e e e	trigonal bipyramidal 120° & 90°	AX5 trig bipyramid AEX4 "see saw" AE ₂ X ₃ T-shaped AE ₃ X ₂ linear	PF ₅ , SeCl ₅ ⁺ SF ₄ , BrF ₄ ⁺ ClF ₃ , XeO ₃ ² XeF ₂ , ICl ₂ ⁻
6		octahedral 90°	AX ₆ octahedral AEX ₅ square pyramid AE ₂ X ₄ square planar	SF ₆ , PCl ₆ ⁻ BrF ₅ , SF ₅ ⁻ XeF ₄ , IF ₄ ⁻

(A = central atom, X = terminal atom, E = lone pair)

2.5. Recouvrement des orbitales

Comment expliquer la formation de liaisons au niveau des orbitales?

Théorie de la liaison de valence: une liaison covalente résulte de la formation d'un doublet d'électrons de spins opposés dans la région du recouvrement de deux orbitales atomiques



Formation d'une molécule de H₂

(a) Deux atomes d'hydrogène se rapprochent l'un de l'autre. Ils renferment chacun un électron dans l'orbitale 1s



(b) A une certaine distance, les orbitales commencent à se chevaucher : recouvrement des orbitales 1s.

La région du recouvrement contient alors 2 électrons de spins opposés.



(c)

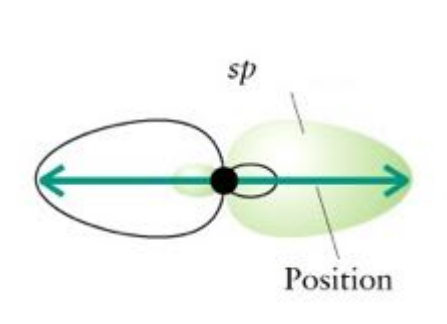
(c) Augmentation de la densité électronique dans la région située entre les 2 noyaux : maintient ensemble les 2 noyaux.

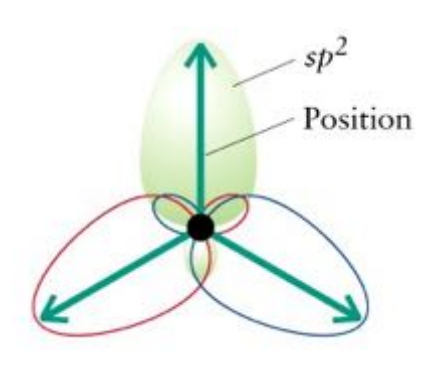
LES ELECTRONS CELIBATAIRES DES ATOMES PERMETTENT LA FORMATION DE LIAISONS CHIMIQUES

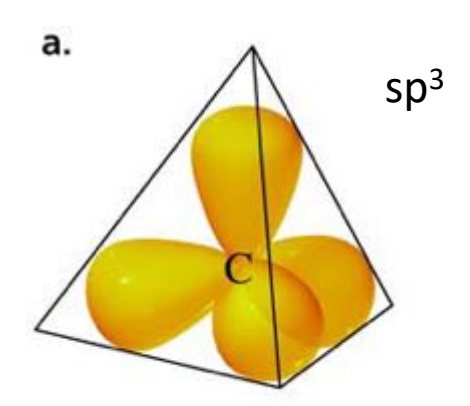
2.6. L'hybridation sp³

schémas principaux d'hybridation

- \longrightarrow L'hybridation d'une orbitale s et d'une orbitale p conduit à deux orbitales hybridées sp
- \rightarrow L'hybridation d'une orbitale s et de deux orbitales p conduit à trois orbitales hybridées sp^2
- L'hybridation d'une orbitale s et de trois orbitales p conduit à quatre orbitales hybridées sp^3







Géométrie de quelques molécules simples

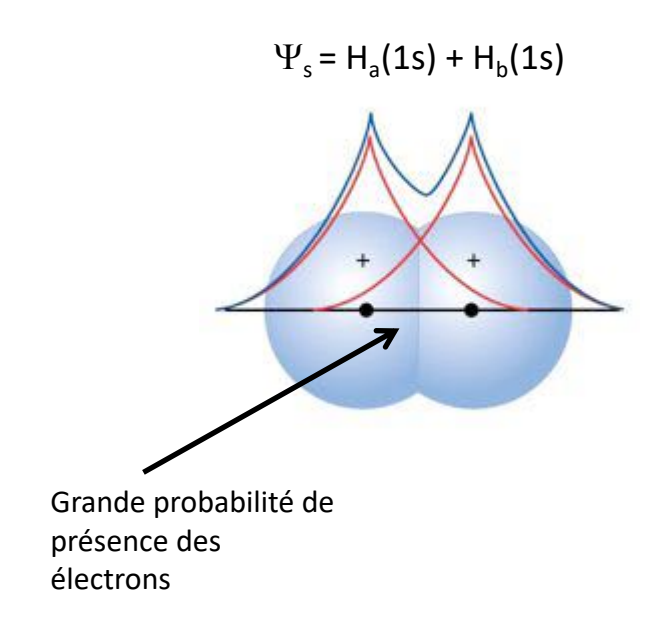
Nbre d'orbitales atomiques	Géométrie	Hybridation
2 3 4 5 6	linéaire trigonal plan tétraèdre trigonal bipyramidal octaédrique	sp sp ² sp ³ sp ³ d sp ³ d ²

2.7. La théorie des orbitales moléculaires

Orbitale moléculaire : Combinaison linéaire d'orbitales atomiques

* Dans le cadre de ce cours on ne considère que les molécules diatomiques. L'analyse des molécules plus compliquées nécessite des calculs importants (ordinateur)

Molécule d'hydrogène (H₂)



 $\Psi_{As} = H_a(1s) - H_b(1s)$ Région d'amplitude noeud diminuée

Energie plus basse que celle des orbitales atomiques => orbitale liante σ_{1s}

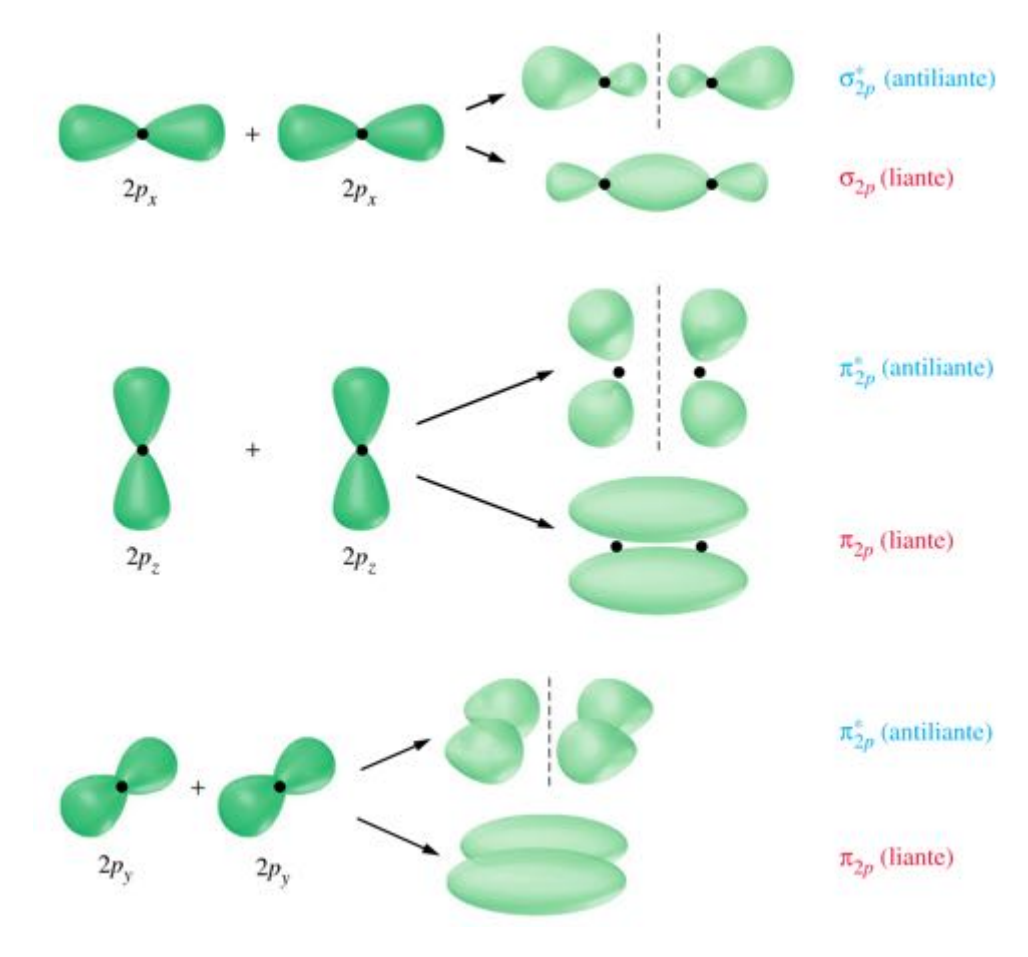
Energie plus élevée que celle des orbitales atomiques => orbitale anti-liante σ_{1s}^*

2.7. La théorie des orbitales moléculaires

OM résultant de la combinaison des orbitales atomiques 2p Importance de la symétrie:

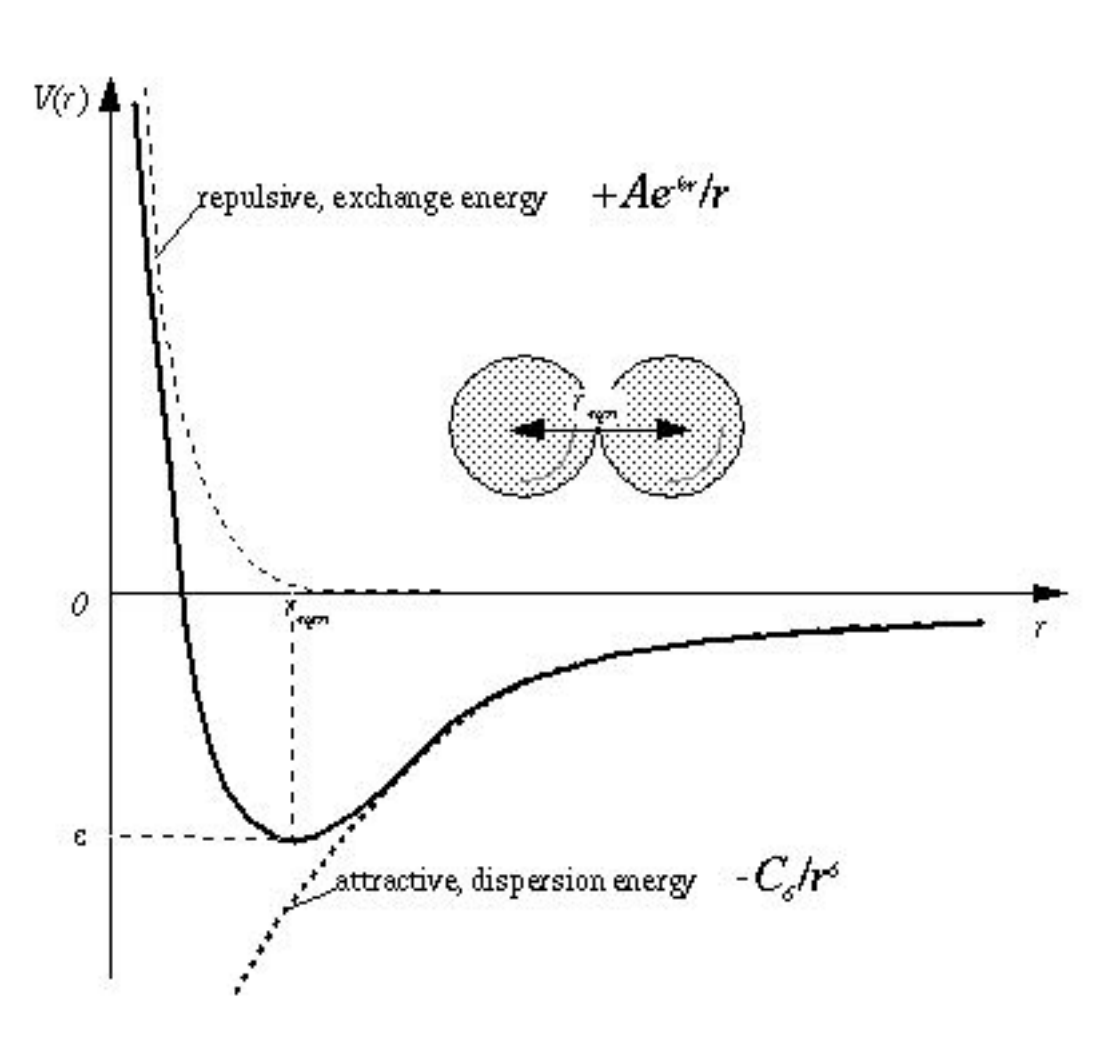
Recouvrement axial Liaison σ

Recouvrement latéral Liaison π

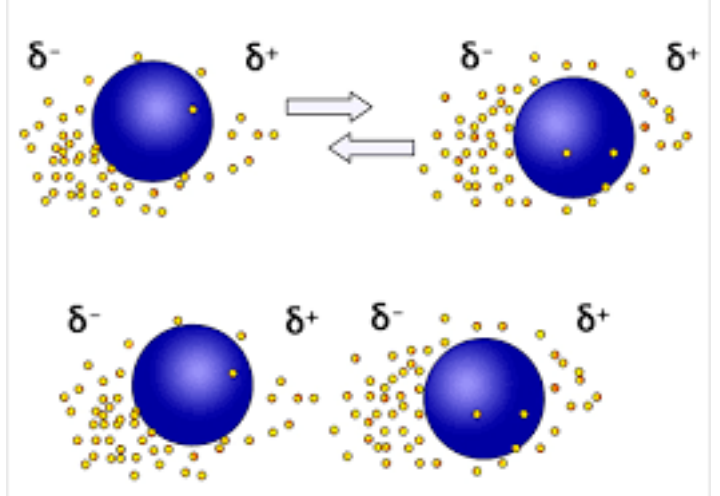


2.8. Forces intermoléculaires

Force de Van der Waals, London



$$\left(P + \frac{n^2.a}{V^2}\right)(V - n.b) = n.R.T$$



2.9.1. Classification des réactions

Par type de réaction

1) Equilibre (cas général, défini par thermodynamique)

$$N_2(g) + 3H_2(g) \rightleftharpoons 2NH_3(g)$$

2) Réaction complète (équilibre déplacé)

$$CaCO_3(s) \xrightarrow{\Delta} CaO(s) + CO_2(g)$$
 Δ : chauffage

Industrie: acierie, verrerie, cimenterie

L'oxyde de calcium, «chaux vive», est un produit obtenu par calcination du calcaire à 825 °C.

Par transformation chimique

Transfert de protons

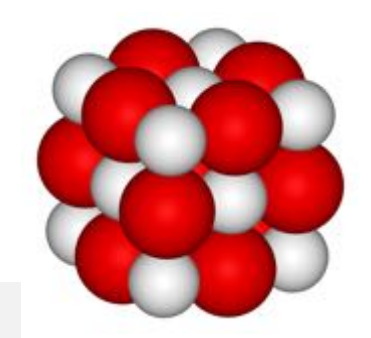
> Transfert d'électrons oxydation-réduction

> Fixation de ligands complexation

> Substitution, dissociation, précipitation....

Loi de conservation de masse

Les coefficients stoechiométriques sont introduits pour équilibrer les réactions: même nombre d'atomes de chaque élément de part et d'autre de la flèche.



acide-base

2.10.8. Definition: Oxydant et réducteur

Oxydant (Ox): Espèce susceptible de capter des électrons (accepteur d'électrons). *Exemple*: L'ion cuivre (II) Cu²⁺ peut capter 2 électrons pour donner un atome de cuivre Cu :

$$Cu^{2+} + 2e^{-} \longrightarrow Cu$$

Réducteur_(Red): Espèce capable de libérer des électrons (donneur d'électrons).

Exemple: Le métal Fe se transforme en ion Fe²⁺ en libérant 2 électrons :

Fe
$$\rightarrow$$
 Fe²⁺ + 2 e-

Oxydant/Réducteur (Ox/Red): L'oxydant et le réducteur associés (oxydant/réducteur) forment le couple rédox.

Dans l'écriture d'un couple redox, l'oxydant est placé à gauche et séparé du réducteur par une barre oblique (Fe²⁺/Fe)

2.10.10. Règles définissant le degré d'oxydation (d.o.)

Dans un composé:

- L'atome le plus électronégatif est considéré comme recevant les électrons.
- Le fluor a toujours un d.o. égal à -1.
- Les métaux alcalins (Li, Na, etc.) ont toujours un d.o. égal à +1.
- Les métaux alcalino-terreux (Be, Mg, etc.) ont toujours un d.o. égal à +2.
- L'hydrogène possède dans la quasi-généralité des cas un d.o. égal à +1, à l'exception des hydrures de métaux où il a un d.o. de -1,
- L'oxygène a le plus souvent un d.o. égal à -2, à l'exception des peroxydes.
- Dans une espèce chimique neutre (molécule ou radical), la somme des d.o. des atomes est nulle. En revanche si le composé est chargé, cette somme est égale à la charge de l'ion.

3. Thermodynamique

3.1. Thermodynamique classique

- 3.1.1. Histoire de la thermodynamique classique
- 3.1.2. Particularités de la thermodynamique chimique
- 3.1.3. Système, environnement, univers
- 3.1.4. Introduction fonction d'état
- 3.1.5. Définitions: Fonction d'état, Grandeurs, Equation d'état
- 3.1.6. Énergie interne

3.2. 1 ere principe de la thermodynamique

- 3.2.1. 1 ere principe pour un système fermé
- 3.2.2. Conséquences du 1^{ere} principe de la thermodynamique
- 3.2.3. Réaction à volume constant

3.3. Définition de l'Enthalpie H

- 3.3.1. Changements d'États à pression constante
- 3.3.2. Enthalpie de la Réaction
- 3.3.3. Enthalpie (molaire) standard de réaction ΔH_r^0

3.4. Méthodes pour calculer l'enthalpie d'une réaction ΔH_r

- 3.4.1. Méthode 1: Enthalpie standard de formation ΔH_f^0 [kJ/mol]
- 3.4.2. Enthalpies molaires standards (p = 1 bar) de formation à 298 K tabuler.
- 3.4.3. Calcul de l'enthalpie standard (molaire) de la réaction ΔH_f^0 [kJ/mol]

- 3.4.4. Méthode 2: Loi de Hess
- 3.4.5. Calcul de ΔH_r^0 par la loi de Hess
- 3.4.6. Méthode 3: Calcul de $\Delta H_{\rm r}^{\ 0}$ par enthalpies de liaisons
- 3.4.7. Enthalpie de dissociation de liaison tabuler
- 3.4.8. Calcul de la combustion du glucose

3.5. Limitations du 1^{ere} principe de la thermodynamique

- 3.5.1. 1 ere Définition de l'Entropie S
- 3.5.2. 2eme Définition de l'Entropie S
- 3.5.3. Confrontation
- 3.5.4. Calcul de l'entropie $S = k \cdot ln(W)$

3.6. 2ème principe de la thermodynamique

- 3.6.1. Entropies molaires standard
- 3.6.2. Processus endothermique
- 3.6.3. Estimation de changement de l'entropie dans une réaction

3.7. Prédiction de la spontanéité d'une réaction

- 3.7.1. Enthalpie libre (énergie de Gibbs)
- 3.7.2. Enthalpie libre standard ΔG^0
- 3.7.3. Spontanéité de réaction ($\Delta G^0 < 0$) et température
- 3.7.4. Thermodynamique de la pile à combustible H_2/O_2

3. Thermodynamique

- 3.7.5. Transformation de l'énergie chimique en énergie électrique + thermique
- 3.7.6. L'énergie chimique en énergie électrique + thermique
- 3.7.7. Réaction chimique devient spontané
- 3.7.8. Thermodynamique «culinaire»
- 3.7.9. Calcul de l'enthalpie libre d'une réaction chimique

3.8. Enthalpie libre, potentiel chimique et l'équilibre

- 3.8.1. Relation entre ΔG , μ et Q, K
- 3.8.2. Relation entre $\Delta_r G$ et $\Delta_r G^0$
- 3.8.3. Enthalpie libre (énergie de Gibbs) et équilibre
- 3.8.4. La composition du mélange à l'équilibre dépend de $\Delta_r G^0$
- 3.8.5. Δ_r G pour des concentrations arbitraires

3.9. Description (cinétique) de l'équilibre chimique

- 3.9.1. Le coefficient d'activité d'une espèce i (yi)
- 3.9.2. Activité (ai) d'un constituant i
- 3.9.3. Le quotient réactionnel Q
- 3.9.4. Evolution d'une réaction (traitement quantitatif)

3.10. La constante d'équilibre (K)

- 3.10.1. K en concentration et pression pour système homogène
- 3.10.2. Relations entre les différentes expressions de la constante d'équilibre
- 3.10.3. Equilibre hétérogène

3.11. L'équilibre chimique

- 3.11.1. Traitement qualitatif de l'équilibre (Principe de Le Châtelier)
- 3.11.2. Déplacement de l'équilibre par addition ou soustraction de réactif
- 3.11.3. Déplacement de l'équilibre par variation de pression
- 3.11.4. Déplacement de l'équilibre par variation de température
- 3.11.5. Traitement quantitative de l'équilibre
- 3.11.6. Variation de K avec la température (Equation Van't Hoff)
- 3.11.7. L'équation de Clausius-Clapeyron
- 3.11.8. L'équation Van't Hoff et de Clausius-Clapeyron

3.12. Déterminer de l'équilibre d'une réaction en fonction de la température (T) à pression constante

- 3.12.1. La constante d'équilibre (K) en fonction de la pression partielle
- 3.12.2. La constante d'équilibre (K) en fonction de la température
- 3.12.3. Calcul numérique $\Delta H(T)$ et $\Delta S(T)$
- 3.12.4. Déterminer la pression partielle d'équilibre à la température (T)
- 3.12.5. Équilibre en fonction de la température (T)

3.2. 1^{ere} principe de la thermodynamique

U(énergie interne) = somme de toutes les énergies

 $\Delta U_{\text{système}}$ = Q + W (U est une fonction d'état mais pas Q ni W) ΔU ne dépend pas du chemin entre l'état initial et final contrairement à la chaleur Q et au travail W

Chaleur fournie à un système + le travail réalisé sur un système = augmentation de l'énergie interne d'un système

En considérant l'environnement, on peut écrire les 2 corollaires suivants:

Corollaire 1: Conservation de l'énergie

 $\Delta U_{environmement} = -Q - W$

chaleur fournie à l'environnement par le système et le travail fait par le système sur l'environnement

Corollaire 2:

 $\Delta U_{univers} = \Delta U_{système} + \Delta U_{environnement} = 0$

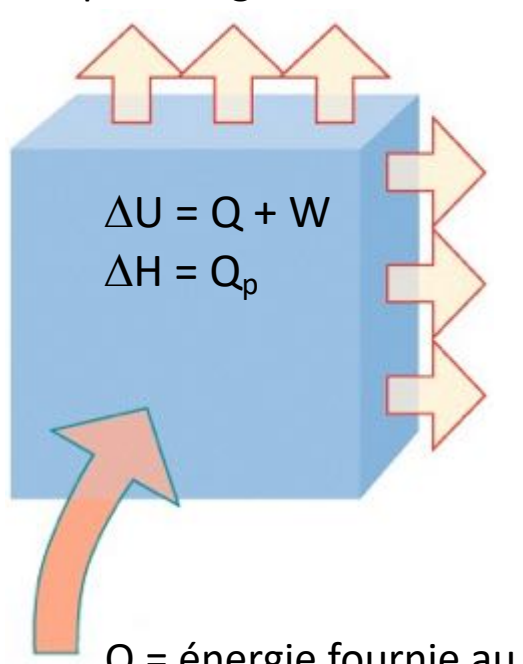
L'énergie de l'univers est constante (l'énergie interne de tout système isolé est constante)

3.3. Définition de l'Enthalpie H

Les réactions chimiques sont étudiés plutôt à pression constante (1bar).

A pression constante, un travail W = $-p \cdot \Delta V$ est fourni (perdu) par le système (ce travail est compté négativement lorsque le volume augmente d'où le signe négatif).

W = $-p \cdot \Delta V$: énergie perdue par le système sous forme de travail lorsque V augmente



Definition de l'enthalpie H (fonction d'état)

 $H = U + p \cdot V$ (pression externe, volume du système)

$$\Delta H = \Delta U + p \cdot \Delta V$$
 (pour $\Delta p = 0$)

avec
$$\Delta U = W + Q = -p \cdot \Delta V + Q$$
 (premier principe)

donc
$$\Delta H = Q_P$$

La variation d'enthalpie du système ΔH est égale à la chaleur Q_P fournie au système, à pression constante.

Q = énergie fournie au système sous forme de chaleur

3.5. Limitations du 1^{ere} principe de la thermodynamique

3.5.1. 1^{ere} Définition de l'Entropie S

Variation d'entropie

Pour un système dans lequel une quantité de **chaleur Q** est échangée de manière réversible, à la température T:

 $\Delta S = \frac{Q_{rev}}{T}$

3.5.2. 2^{eme} Définition de l'Entropie S

Cet effet devient très important si le nombre de configurations est grand

$$S = k \cdot ln(W)$$

W = nombre de configurations énergétiquement équivalentes $k = 1.38 \cdot 10^{-23} \text{ J/K} = \text{R/N}_A$

processus spontané $\Delta S > 0$ = processus irréversible \rightarrow désordre augmente

3.6. 2ème principe de la thermodynamique

Réactifs (R) → Produits (P)

$$\Delta S_r^0 = \sum n_P (S^0)_P - \sum n_R (S^0)_R$$

En J/(K mol), n = coefficient stoechiométrique S⁰ = entropie molaire standard

3ème principe de la thermodynamique

L'entropie d'une substance pure, parfaitement cristalline (ordre parfait) est nulle à zéro K.

L'entropie est définie selon une échelle absolue (contrairement à l'énergie interne et à l'enthalpie)

S⁰(gaz) >> S⁰(liquides, solides)

Entropies molaires standard (25°C)

Substance	S _m , J·K-1·mol-1
GASES	
ammonia, NH3	192.4
carbon dioxide, CO2	213.7
hydrogen, H ₂	130.7
nitrogen, N ₂	191.6
oxygen, O ₂	205.1
LIQUIDS	
benzene, C ₆ H ₆	173.3
ethanol, C ₂ H ₅ OH	160.7
water, H ₂ O	69.9
SOLIDS	
calcium oxide, CaO	39,8
calcium	
carbonate, CaCO3†	92.9
diamond, C	2.4
graphite, C	5.7
lead, Pb	64.8

Dans une réaction, une variation du nombre de moles gazeuses prédomine, en général, sur toute autre variation d'entropie.

3.7. Prédiction de la spontanéité d'une réaction

Enthalpie libre (énergie de Gibbs)

$$\Delta S_{univers} = \Delta S_{système} + \Delta S_{environnement} > 0$$
 réactions spontanées

Pour un système à pression externe et température de l'environnement constantes:

$$\Delta S_{\text{environnement}} = \frac{-\Delta_r H^0}{T}$$

$$\Delta S_{\text{univers}} = \Delta S_r^0 + \frac{-\Delta H_r^0}{T}$$



on peut calculer la variation totale d'entropie à partir de données ne concernant que le système seul.

$$-T\Delta S_{\text{univers}}^{---} = \Delta H_{\text{r}}^{0} - T\Delta S_{\text{r}}^{0}$$

On peut prévoir la spontanéité d'une réaction en étudiant la variation d'enthalpie libre du système

$$\Delta_{\rm r} G^0 = -T \cdot \Delta S_{\rm univers}$$

variation d'enthalpie libre (unités: J/mol)

G: enthalpie libre, énergie de Gibbs

$$\Delta_{r}G^{0} = \Delta H_{r}^{0} - T \cdot \Delta S_{r}^{0}$$

$$\Delta_{\rm r}G^0 < 0$$

$$\Delta_r G^0 > 0$$

Le processus inverse est spontané

3.8. Enthalpie libre, potentiel chimique et l'équilibre

3.8.1. Spontanéité de réaction ($\Delta G^0 < 0$) et température

 $\Delta_r G^0 = \Delta_r H^0 - T \cdot \Delta_r S^0$

Hypothèse: $\Delta_r H^0$, $\Delta_r S^0$ varient peu avec la température

$$\Delta_{\mathsf{r}} H^0 < 0$$
 $\Delta_{\mathsf{r}} S^0 > 0$

Spontanée à toute température

$$\Delta S^0$$

$$\Delta_{\text{r}} H^0 \geq 0 \qquad \Delta_{\text{r}} S^0 \geq 0$$

Spontanéité augmente quand la température augmente



 ΔH^0

$$\Delta_{\text{r}} H^0 \leq 0 \qquad \Delta_{\text{r}} S^0 \leq 0$$

Spontanéité diminue quand la température augmente

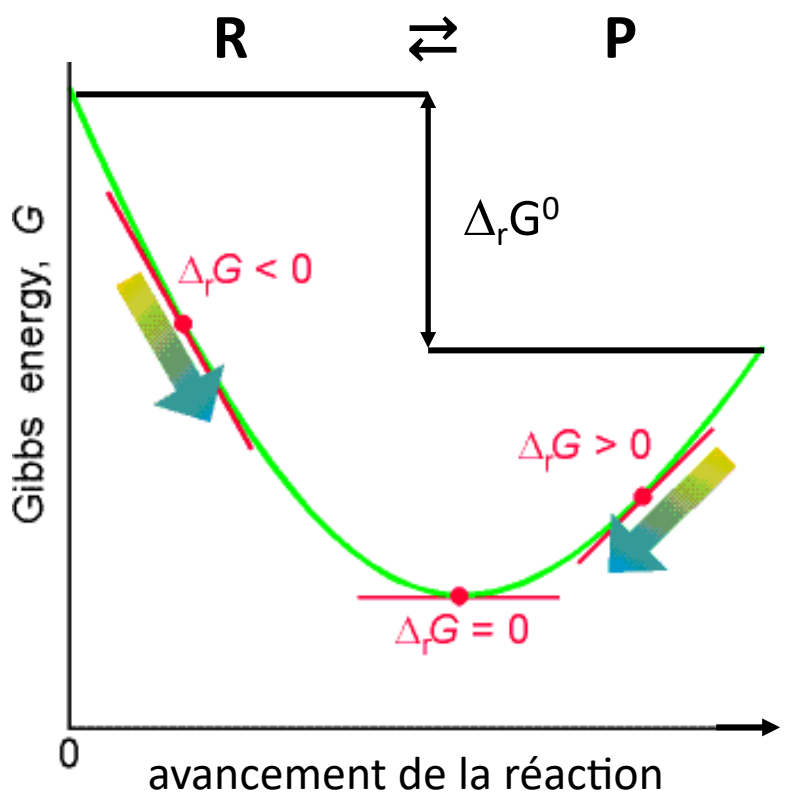


Non spontanée à

toute température



3.8.3. Enthalpie libre (énergie de Gibbs) et équilibre



 Δ_r G⁰: Variation de G pour passer des réactifs purs aux produits purs dans des conditions standards

Au cours de la réaction, nous avons un mélange de réactifs et de produits qui change au cours du temps. $\Delta_r G$ varie au cours de la réaction.

L'entropie du mélange explique la baisse de $\Delta_r G$ et la présence d'un équilibre

produits purs

$$\Delta_r G^0 = -R \cdot T \cdot ln(K)$$

La réaction a tendance à évoluer vers le point d'enthalpie libre minimum: composition à l'équilibre

3.9. Description (cinétique) de l'équilibre chimique

$$\Delta_r G = \Delta_r G^0 + R \cdot T \cdot ln(Q)$$

A l'équilibre Q = K et Δ_r G = 0

$$\Delta_r G^0 = -R \cdot T \cdot ln(K)$$

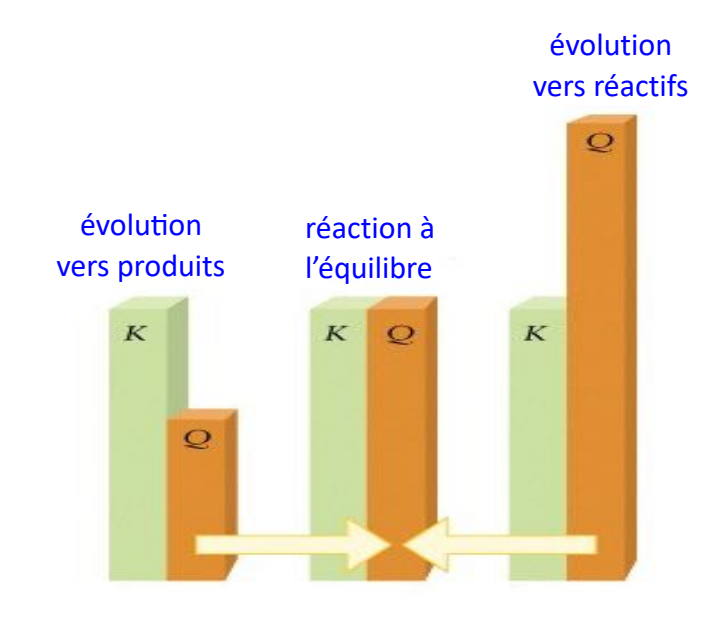
$$\Delta_r G = R \cdot T \cdot ln\left(\frac{Q}{K}\right)$$

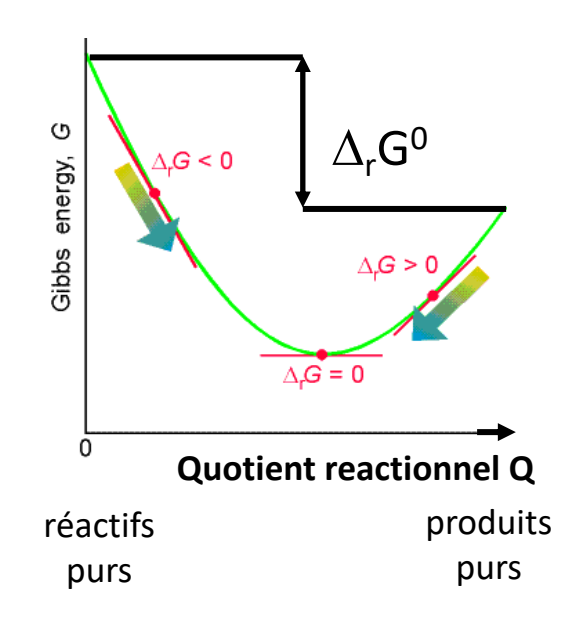
Prévision de l'évolution (pour un mélange donné): on compare Q et K

 $Q < K : \Delta_r G < 0$ évolution vers la formation de produits

Q > K: $\Delta_r G > 0$ évolution en sens inverse

Q = K: $\Delta_r G = 0$ composition à l'équilibre, pas d'évolution





3.11.8. L'équation Van't Hoff et de Clausius-Clapeyron

$$\Delta_r G^0 = \Delta_r H^0 - T \cdot \Delta_r S^0 = -R \cdot T \cdot ln(K(T))$$
 A l'équilibre, à la température T

$$\frac{dln(K(T))}{dT} = -\frac{\Delta_r H^0}{R \cdot T^2}$$
 Equation de Van't Hoff version différentielle (p = const.)

Pour 2 températures T_1 et T_2 :

$$ln\left(\frac{K(T_2)}{K(T_1)}\right) = \frac{\Delta_r H^0}{R} \cdot \left(\frac{1}{T_1} - \frac{1}{T_2}\right)$$
 Equation de Van't Hoff version intégrale (p = const.)

$$K(T_1) = \frac{p_1}{p_0}$$
 et $K(T_2) = \frac{p_2}{p_0}$

$$ln\left(\frac{p_2}{p_1}\right) = \frac{\Delta H_{vap}^0}{R} \cdot \left(\frac{1}{T_1} - \frac{1}{T_2}\right)$$
 Eq. de Clausius-Clapeyron

4. Acides et bases

4.1. Équilibres chimiques

- 4.1.1. Définition des acides et des bases selon Arrhénius
- 4.1.2. Définition plus générale des acides et des bases (Bronsted-Lowry, 1923)
- 4.1.3. Les acides et les bases de Lewis
- 4.1.4. Constante d'acidité et de basicité
- 4.1.5. Autoprotolyse de l'eau
- 4.1.6. Force relative des paires acide-base conjuguées
- 4.1.7. Échelle pH

4.2. Traitement quantitatif

- 4.2.1. pH d'une solution d'acide fort
- 4.2.2. pH d'une solution d'acide faible
- 4.2.3. Degré de dissociation d'un acide (base) faible
- 4.2.4. pOH d'une solution basique fort
- 4.2.5. pOH d'une solution basique faible
- 4.2.6. Sels dans l'eau : analogue au point 4.2.2. ou 4.2.4.

4.3. Solution tampon

- 4.3.1. Solution tampon: Acide/sel: CH₃COOH/CH₃COO
- 4.3.2. Calcul du pH d'une solution tampon
- 4.3.3. Calcul du pH d'une solution tampon avec du NaOH
- 4.3.4. Exemple des solutions tampons

4.4. Titrage

- 4.4.1. Titrage d'un acide fort par une base forte
- 4.4.2. Titrage d'un acide faible par une base forte
- 4.4.3. Titrage de base avec acide fort

4.5. Acides polyprotiques

4.1.2. Définition des acides et des bases (Bronsted-Lowry)

Acide \rightarrow donneur de protons HA \rightarrow A⁻ + H⁺

La définition de Brønsted-Lowry s'applique donc aussi dans les

Base \rightarrow accepteur de protons B + H⁺ \rightarrow BH⁺

milieux non aqueux.

Une réaction acide/base est une réaction d'échange de protons entre deux couples donneur/accepteur.

donneur (AH) + acepteur (B) \rightleftharpoons acepteur (A $^{-}$) + donneur (BH $^{+}$)

4.1.3. Les acides et les bases de Lewis

Une base de Lewis est une substance qui peut donner un doublet d'électrons. Un acide de Lewis est une substance qui peut recevoir un doublet d'électron.

$$A + B \mid \rightarrow A-B$$

A: Acid de Lewis

B|: Base de Lewis

4.1.4. Constante d'acidité et de basicité

Les équilibres de transfert de proton sont décrits par des constantes d'équilibre Ka, Kb.

Pour un acide HA en solution aqueuse:

$$HA(aq) + H_2O(l) \rightleftharpoons A^-(aq) + H_3O^+(aq)$$

Pour une solution suffisamment diluée, l'activité de H₂O est égale à 1, donc :

constante d'acidité (HA / A-)
$$K_a = \frac{\left([A^-] / 1 mol L^{-1} \right) \left([H_3 O^+] / 1 mol L^{-1} \right)}{[HA] / 1 mol L^{-1}} \quad pK_a = -\log K_a$$

Pour une base B en solution aqueuse:

$$\Delta_r G^0 = -RT \ln K_a = 2.303 \cdot RT \cdot pK_a$$

$$B(aq) + H_2O(l) \rightleftharpoons BH^+(aq) + OH^-(aq)$$

constante de basicité (B / BH+)
$$K_b = \frac{\left([BH^+]/1 mol L^{-1} \right) \cdot \left([OH^-]/1 mol L^{-1} \right)}{[B/1 mol L^{-1}]} \qquad pK_b = -\log K_b$$

4.1.7. Échelle pH

pH = -log(a_{H+}) en général Acidité

Molarité des ions H⁺, échelle logarithmique

$$pH = -log([H^+]/1M)$$

pour des concentrations faibles

$$pOH = -log([OH^-]/1M)$$

4.1.5. Autoprotolyse de l'eau

Réaction d'autoprotolyse de l'eau:

$$H_2O(l) + H_2O(l) \rightleftharpoons OH^-(aq) + H_3O^+(aq)$$

acide

base

base conjugée acide conjugé

$$\to K_e = \frac{a(H_3O^+) \cdot a(OH^-)}{a(H_2O)^2} = \frac{a(H_3O^+) \cdot a(OH^-)}{1 M^2} = 10^{-14}$$

(activité de l'eau ~ 1; liquide pur)

produit ionique de l'eau $pK_e = -log(K_e) = 14$ à T = 25° C

Dans I' eau pure à 25° C: $[H_3O^+] = [OH^-] \cong 10^{-7}M$

La concentration en ions H₃O⁺ et OH- est très basse dans l'eau pure.

→ faible conductivité de l'eau distillée

4.2. Traitement quantitatif des équilibres acide-base dans l'eau

Acid dans l'eau $HA \rightleftharpoons A^- + H^+$

Autoprotolyse de l'eau $H_2O \rightleftharpoons OH^- + H^+$

4 équations: K_a, K_e, concentration initiale d'acide c_a donnée; H⁺, OH⁻, HA, A⁻ cherchés

- 1) Equilibre dissociation: $\frac{[H^+][A^-]}{[HA]} = K_a$
- 2) Autopyrolyse de l'eau: $[H^{+}][OH^{-}] = K_{e} = 10^{-14}$
- 3) Bilan des masses (conservation de masse): $[HA] + [A^-] = [HA]_0 = c_a$
- 4) Electroneutralité (conservation de charge): $[H^+] [OH^-] [A^-] = 0$

Remarque par souci de simplicité, on exprime ici K_a et K_e à partir des concentrations des espèces chimiques. Pour retrouver les constantes d'équilibre adimensionnelles, il faut diviser chaque concentration par 1 M.

4.2.1. pH d'une solution d'un acide fort

Acid dans l'eau

Autoprotolyse de l'eau

$$HA \rightleftharpoons A^{-} + H^{+}$$

$$HA \rightleftharpoons A^- + H^+ \qquad H_2O \rightleftharpoons OH^- + H^+$$

Soit une solution diluée d'un acide fort: $K_a \gg 1$, dissociation complète, c_A

1) Equilibre dissociation: $\frac{[H^+][A^-]}{[HA]} = K_a$

Autopyrolyse de l'eau: $[H^+][OH^-] = K_e = 10^{-14}$

 $HA \ll [A^-]$, HA négligeable dans le cas d'un acide fort, $[A^-] = C_{\Delta}$ (approximativement)

- Bilan des masses (conservation de masse): $[HA] + [A^-] = [HA]_0 = c_a$
- Electroneutralité (conservation de charge): $[H^+] [OH^-] [A^-] = 0$

D'après équation 3: $[A^-] = [HA]_0 = c_a$ avec [HA] = 0

D'après équation 4: $[H^{+}] = [A^{-}] + [OH^{-}] = c_a + [OH^{-}]$

D'apres équation 2: $[OH^{-}] = K_e/[H^{+}]$ on obtient $[H^{+}] = c_a + (K_e/[H^{+}])$

ou $[H^+]^2 - c_3 \cdot [H^+] - K_0 = 0$

$$[H^+] = \frac{c_a}{2} \pm \sqrt{\left(\frac{c_a}{2}\right)^2 + K_e}$$

Et finalment en trouve
$$[H^+] = \frac{c_a}{2} \pm \sqrt{\left(\frac{c_a}{2}\right)^2 + K_e}$$
, $\left(\frac{c_a}{2}\right)^2 \gg K_e$ $[H^+] = c_a$

4.2.2. pH d'une solution d'un acide faible

Soit une solution aqueuse diluée d'un acide faible HA. Concentration initiale $[HA]_0 = c_a$

$$HA_{aq} + H_2O_{liq} \rightarrow H_3O^+_{aq} + A^-_{aq}$$
 dissociation partielle $K_a \ll 1$ $pK_a > 0$

Exemple: c_a M solution de HA: CH_3COOH : $pK_a = 4.75$ dissociation

	НА	H ₃ O ⁺	A-
Concentration initiale	Ca	0	0
Variation des concentrations	-X	+x	+x
Concentration finale	c _a - X	X	Х

$$K_a = \frac{[H^+] \cdot [A^-]}{[HA]} = \frac{x^2}{c_a - x} \quad x_{1,2} = -\frac{K_a}{2} \pm \sqrt{\left(\frac{K_a}{2}\right)^2 + c_a \cdot K_a}$$

$$x^2 + x \cdot K_a - c_a \cdot K_a = 0$$

$$x = -\frac{K_a}{2} + \sqrt{\left(\frac{K_a}{2}\right)^2 + c_a \cdot K_a} \approx \sqrt{c_a \cdot K_a} \quad pour \quad c_a \gg K_a$$

4.3.1. Solution tampon: Acide/sel: CH₃COOH/CH₃COO

$$\rightarrow$$

$$CH_3COO^-(aq) + Na^+(aq)$$

[sel]

[base conjuguée]

$$CH_3COOH(aq) + H_2O(I)$$

$$CH_3COO^-(aq) + H_3O^+(aq)$$

Init.

Modif. -X Χ

Χ

Equil. $C_a - x$

$$C_h + x$$

$$K_a = \frac{\left[CH_3COO^{-}\right] \cdot \left[H_3O^{+}\right]}{\left[CH_3COOH\right]} = \frac{(c_b + x) \cdot x}{(c_a - x)}$$

pour
$$x \ll c_a c_b \longrightarrow K_a = x \frac{c_b}{c_a}$$
 *Pour $x \ll C_a$, C_b ; x peut être négligé dans l'expression de la constante d'équilibre

$$pH = pK_a + log\left(\frac{c_b}{c_a}\right)$$
 (Equation de Henderson-Hasselbalch)

5. Electrochimie

5.1. Réaction de transfert d'électrons (réaction réduction – oxydation)

5.2. Degrés d'oxydation D.O. des éléments

5.3. Cellule galvanique

5.3.1. Notation pour une cellule galvanique (pile)

5.4. Force électromotrice (tension) d'une pile

- 5.4.1. Potentiel standard d'électrode, E⁰ (Volt)
- 5.4.2. Potentiel standard ΔE⁰ et constante d'équilibre K
- 5.4.3. Potentiel standard d'électrode, E⁰ (Volt)
- 5.4.5. Mesure du potentiel standard du couple redox Zn²⁺/Zn
- 5.4.6. Potentiel standard ΔE^0 d'une cellule galvanique (pile Daniell)
- 5.4.7. Potentiels standard d'électrode, E⁰
- 5.4.8. Effet de la concentration des réactifs

5.5. Mesures de pH

5.6. Equation de Nernst

- 5.6.1. Equation de Nernst pour une pile
- 5.6.2. Equation de Nernst pour une demi-pile

5.7. Loi de Faraday

5.8. Application

- 5.8.1. Pile de concentration
- 5.8.2. Electrolyse
- 5.8.3. Electrolyse: production d'aluminium
- 5.8.4. Electrolyse: production de l'hydrogene
- 5.8.5. Pile à combustible H_2 - O_2
- 5.8.6. Bilan énergétique

5.9. Diffèrent Pile

5.10. Corrosion

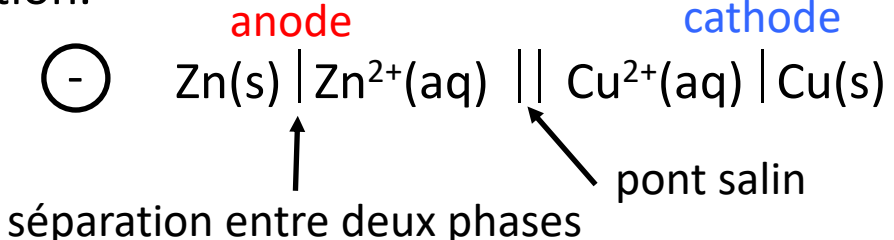
- 5.10.1. Mécanisme de la corrosion
- 5.10.2. La corrosion du fer
- 5.10.3. Corrosion de contact
- 5.10.4. La protection de la corrosion

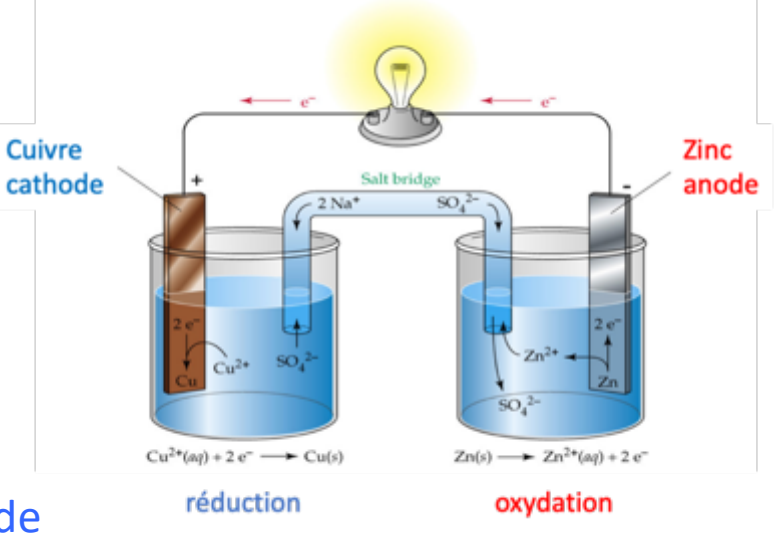
5. Electrochimie

5.3. Cellule galvanique

Notation pour une cellule galvanique (pile)

On place l'électrode négative (anode) à gauche, par convention.





+

Déf.: Anode

Déf.: Cathode

réaction anodique = oxydation

réaction cathodique = réduction

$$Zn(s) \rightarrow Zn^{2+}(aq) + 2e^{-}$$

$$Cu^{2+}(aq) + 2e^{-} \rightarrow Cu(s)$$

5.4.1. Potentiel standard d'une pile ΔE^0 (Volt)

$$\Delta_r G^0 = -z \cdot F \cdot \Delta E^0 \qquad \left[\frac{C}{mol} \cdot V = \frac{C}{mol} \cdot \frac{J}{C} = J / mol \right]$$

 $\Delta E^0 = E^0$ (cathode) - E^0 (anode)

5.6. Equation de Nernst

5.6.1. Equation de Nernst pour une pile

Pendant l'utilisation d'une pile, sa tension diminue. C'est parce que les concentrations des réactifs et produits des couples redox changent.

$$Cu^{2+}(aq) + Zn(s) \rightleftharpoons Cu(s) + Zn^{2+}(aq)$$
 $\Delta E^0 = 1.1 \text{ V conditions std.}$
$$O_1 + R_2 \rightleftharpoons R_1 + O_2 \qquad \begin{bmatrix} Cu^{2+} \end{bmatrix} = \begin{bmatrix} Zn^{2+} \end{bmatrix} = 1 \mod /l$$

Calcul de la f.é.m. aux conditions non standards:

$$\Delta G_r = \Delta G_r^0 + RT \ln Q \qquad \text{avec:} \qquad \frac{\Delta G_r = -zF\Delta E}{\Delta G_r^0 = -zF\Delta E^0}$$

$$\Delta E = \Delta E^0 - \frac{RT}{zF} \ln Q \qquad Q = \frac{a(R_1) \cdot a(O_2)}{a(O_1) \cdot a(R_2)} \cong \frac{\begin{bmatrix} R_1 & O_2 \\ O_1 & R_2 \end{bmatrix}}{\begin{bmatrix} O_1 & R_2 \end{bmatrix}} \qquad \text{quotient de réaction Q:}$$

L'équation de Nernst

À l'équilibre: Q=K avec:
$$\frac{RT}{zF} \ln K = \Delta E^0 \longrightarrow \Delta E=0$$

Quand la réaction redox atteint l'équilibre: $\Delta E = 0$, la pile est "plate".

5.7. Loi de Faraday

Le nombre de moles n de produit formé par un courant électrique est stoechiométriquement équivalent au nombre de moles d'électrons fourni.

$$W = \Delta E \cdot Q = \Delta E \cdot I \cdot t$$

$$Q = I \cdot t = n \cdot z \cdot F = m/M \cdot z \cdot F$$

$$n = \frac{I \cdot t}{z \cdot F}$$

n: nombre de moles du produit

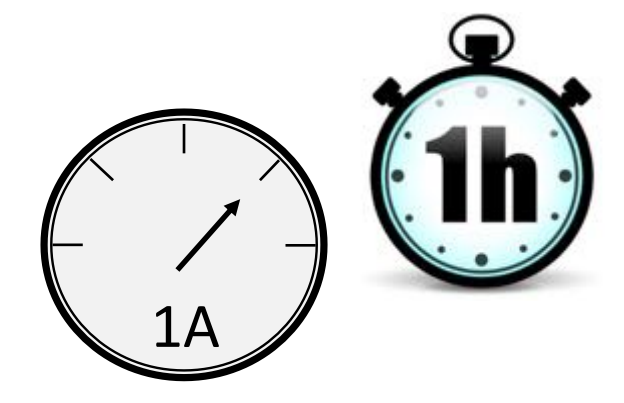
Constante de Faraday F:

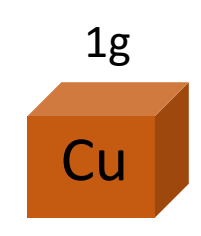
 $F = e^{-} \cdot N_A = 96485$ Coulombs/(mol électrons)



t: temps [s|

z: nombre d'électrons transférés pour former le produit





6. Cinétique chimique

6.1. Vitesse de réaction

- 6.1.1. Loi de vitesse: influence de la stoechiométrie
- 6.1.2. Réactions d'ordre zéro
- 6.1.3. Réactions d'ordre 1
- 6.1.4 Temps de demi-réaction (demi-vie) $t_{1/2}$
- 6.1.5. Réactions d'ordre 2
- 6.1.6. Temps de demi-réaction (ordre 2)

6.2 Résumé des ordres de réaction 0, 1, 2

6.3. Déterminer les ordres de réaction

- 6.3.1. Méthode des vitesses initiales
- 6.3.2. Méthode des réactifs en excès

6.4. Influence de la température sur la vitesse de réaction

- 6.4.1. Energie d'activation E_a
- 6.4.2. Interprétation de l'énergie d'activation
- 6.4.3. Efficacité des collisions
- 6.4.4. Influence de la température: énergie d'activation

6.5. Mécanismes des réactions chimiques

6.6. Réactions en plusieurs étapes (multi-étapes)

6.6.1. Réactions successives

6.7. Catalyseur d'une réaction

6.7.1. La catalyse hétérogène

6.8. Procédé Haber -Bosch

- 6.8.1. Conversion et vitesse procédé Haber -Bosch
- 6.8.2. Catalyseur: synthèse de l'ammoniac
- 6.8.3. Mécanisme de la synthèse catalysée d'ammoniac (NH₃)
- 6.8.4. Validation du modèle cinétique
- 6.8.5. Biosynthèse de l'ammoniac: nitrogénase bactérienne

6.9. Catalyse enzymatique

- 6.9.1. Cinétique enzymatique
- 6.9.2. Relation de Michaelis Menten

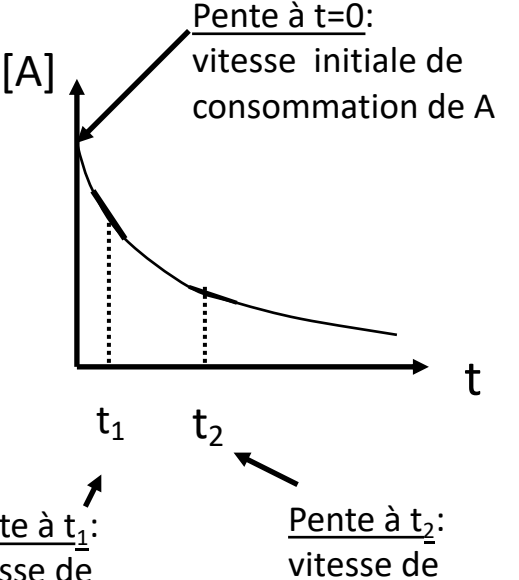
6.1. Vitesse de réaction

A volume constant, on définit la vitesse d'une réaction chimique v par la dérivée de la concentration de l'un des produits par rapport au temps.

$$n_A A + n_B B \longrightarrow n_M M + n_N N$$

Vitesse de consommation de A: $v_A = -\frac{d[A]}{dt}$ $[mol \cdot l^{-1} \cdot s^{-1}]$

Vitesse de production de M: $v_M = +\frac{d[M]}{dt} \quad [mol \cdot l^{-1} \cdot s^{-1}]$



Pente à t₁ vitesse de consommation de A à t₁

consommation de A à t₂

Vitesse de réaction (à volume constant):

$$v = -\frac{1}{n_A} \frac{d[A]}{dt} = -\frac{1}{n_B} \frac{d[B]}{dt} = +\frac{1}{n_M} \frac{d[M]}{dt} = +\frac{1}{n_N} \frac{d[N]}{dt} \quad [mol \cdot l^{-1} \cdot s^{-1}]$$

6.2 Résumé des ordres de réaction 0, 1, 2

0 ordre: A → Produits

1 ordre: $A \longrightarrow Produits$

2 ordre: 2A→ Produits

Ordre global de réaction	Unités de k	
Zéro	$\text{mol} \cdot \text{L}^{-1} \cdot \text{s}^{-1}$	
Un	s^{-1}	
Deux	$L \cdot \text{mol}^{-1} \cdot \text{s}^{-1}$	
Trois	$L^2 \cdot mol^{-2} \cdot s^{-1}$	

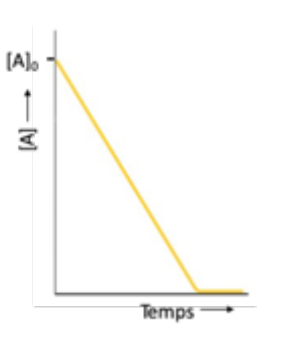
Loi de vitesse	ordre	loi intégrée	forme linéaire	
$-\frac{d[A]}{dt} = k$	0	$\left[A\right]_{t} = \left[A\right]_{0} - kt$	$\left[A\right]_{t} = \left[A\right]_{0} - kt$	
$-\frac{d[A]}{dt} = k[A]$	1	$\left[A\right]_{t} = \left[A\right]_{0} e^{-kt}$	$\ln[A]_t = \ln[A]_0 - kt$	
$-\frac{d[A]}{dt} = k[A]^2$	2	$\left[A\right]_{t} = \frac{\left[A\right]_{0}}{1 + kt\left[A\right]_{0}}$	$\frac{1}{\left[A\right]_{t}} = \frac{1}{\left[A\right]_{0}} + kt$	

6.3. Déterminer les ordres de réaction

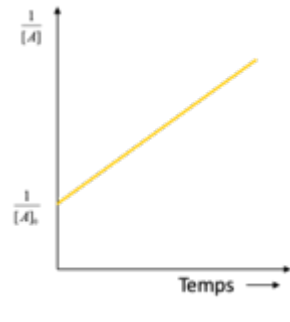
1. Réactions avec un réactif:

 $A \rightarrow Produits$

• graphes de [A], In [A], 1/A vs t



 $\ln[A]_0$ $\stackrel{\frown}{=}$ $\frac{\overleftarrow{A}}{=}$ $\stackrel{\frown}{=}$ Temps \longrightarrow



• temps de demi-vie t_{1/2}

$$\tau_{\frac{1}{2}} = \frac{1}{2k} \cdot [A]_0$$

$$\tau_{1/2} = \frac{\ln 2}{k}$$

$$\tau_{1/2} = \frac{1}{k[A]_0}$$

2. Réactions avec plusieurs réactifs:

 $A + B + C + ... \rightarrow Produits$

- Méthode des vitesses initiales
- Méthode des réactifs en excès

6.4. Influence de la température sur la vitesse de réaction

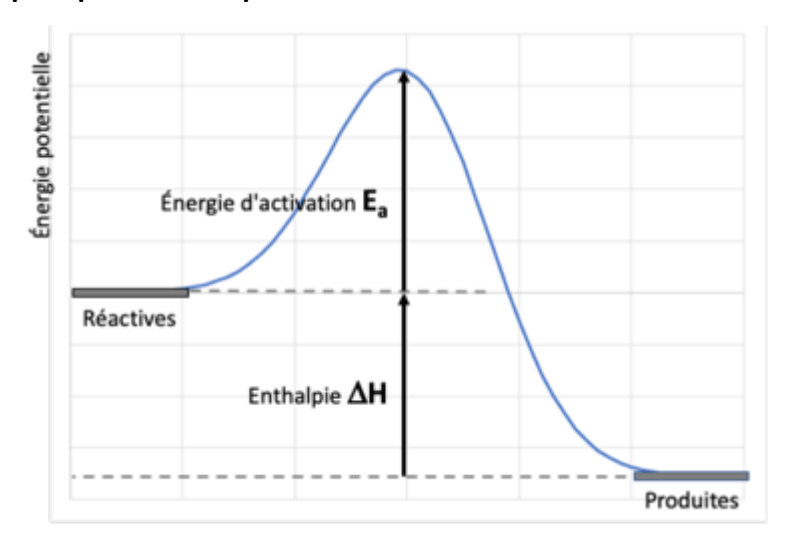
La "constante" de vitesse k varie fortement avec la température k = k(T) En 1889 Svante Arrhenius proposa l'équation suivante:

$$k = A_f e^{-\frac{E_a}{RT}}$$

$$lnk = lnA_f - \frac{E_a}{RT}$$

pour deux températures:

$$\ln \frac{k_2}{k_1} = \frac{E_a}{R} \left(\frac{1}{T_1} - \frac{1}{T_2} \right)$$



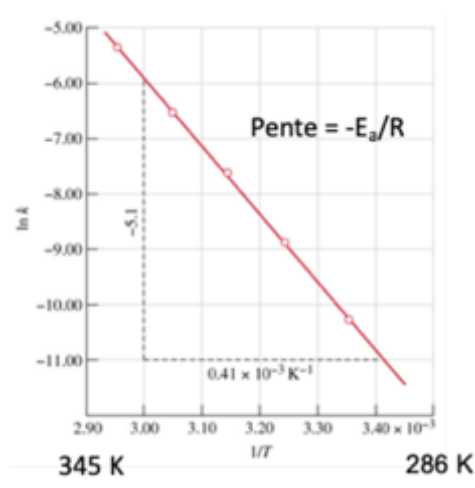
A_f et E_a indépendants de T

A_f = facteur de fréquence

E_a= énergie d'activation (J mol⁻¹)

R = constante de gaz parfait

T = température absolue (K)



6.6. Réactions en plusieurs étapes (multi-étapes)

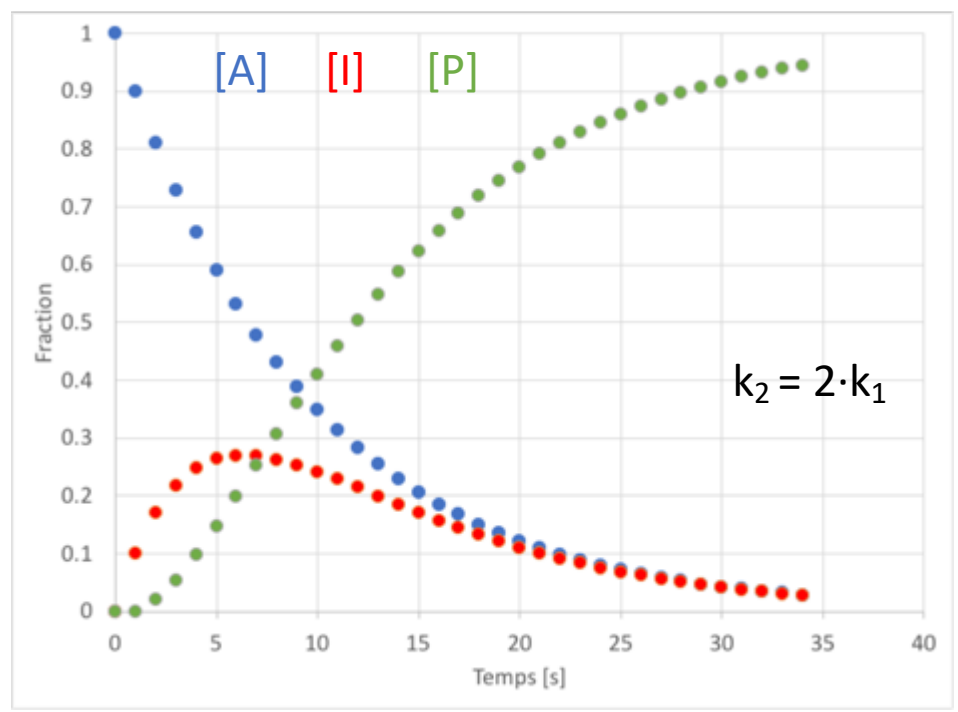
$$A \xrightarrow{k_1} I \xrightarrow{k_2} P$$

$$v_1 = k_1[A] \qquad v_2 = k_2[I]$$

$$-\frac{d[A]}{dt} = v_1 = k_1[A]$$

$$\frac{d[I]}{dt} = v_1 - v_2 = k_1[A] - k_2[I]$$

$$\frac{d[P]}{dt} = v_2 = k_2[I]$$

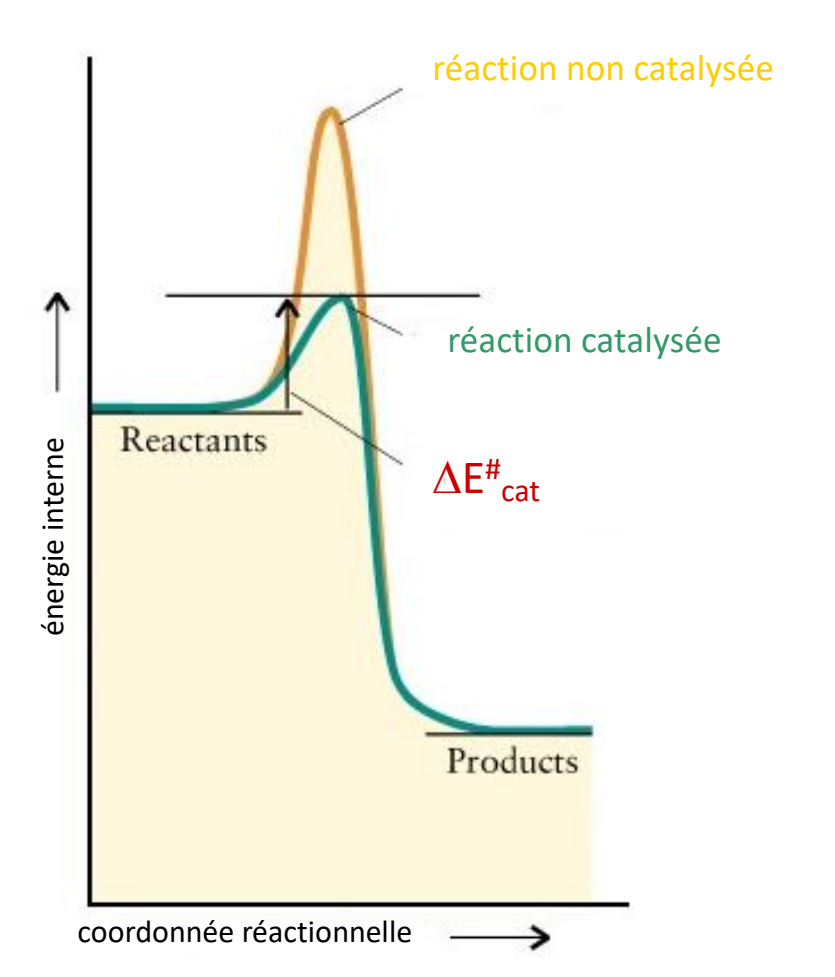


Si $k_1 \ll k_2$ la concentration de *I* reste faible.

La première étape est déterminante pour la vitesse globale.

6.7. Catalyseur d'une réaction

Substance qui accroît la vitesse d'une réaction sans être elle-même consommée. Elle offre une autre voie ou un autre mécanisme pour passer des réactifs aux produits avec une énergie d'activation plus faible que celle de la réaction initiale.



Catalyseur homogène

Se trouve dans la même phase que les réactifs

Catalyseur héterogène

Se trouve dans une autre phase que les réactifs.

Souvent : solides finement divisés ou poreux pour offrir la plus grande surface possible à l'adsorption des réactifs

Étude détaillée avec l'aide de surfaces modèles très bien définies (single crystal)

7. Propriétés des solutions

7.1. Solution

- 7.1.1. Définition de la solution
- 7.1.2. Unités de concentrations
- 7.1.3. Dissolution d'un solide dans un solvant

7.2. Enthalpie de dissolution

- 7.2.1. Dissolution exotherme et endotherme
- 7.2.2. Enthalpie de dissolution des sel dans l'eau

7.3. Solubilité

- 7.3.1. Règle de similitude pour la solubilité
- 7.3.2. Molécules amphiphiles
- 7.3.3. Produit de solubilité K_s
- 7.3.4. Solubilité molaire s
- 7.3.5. L'effet de l'ion commun : précipitation
- 7.3.6. Prévoir la précipitation
- 7.3.7. Loi de Henry

7.4. Propriétés colligatif des solutions

- 7.4.1. Loi de Raoult: Abaissement de la pression de vapeur
- 7.4.2. Elévation de la température d'ébullition
- 7.4.3. Abaissement de la température de congélation
- 7.4.4. Osmose
- 7.4.5. Désaliénation de l'eau de mer par osmose inverse
- 7.4.6. Solutions isotoniques

7.5. Cristallisation

- 7.5.1. Taux de nucléation et croissance
- 7.5.2. Energie de fusion
- 7.5.3. Taille de nucléation

7.6. Mélange, séparation

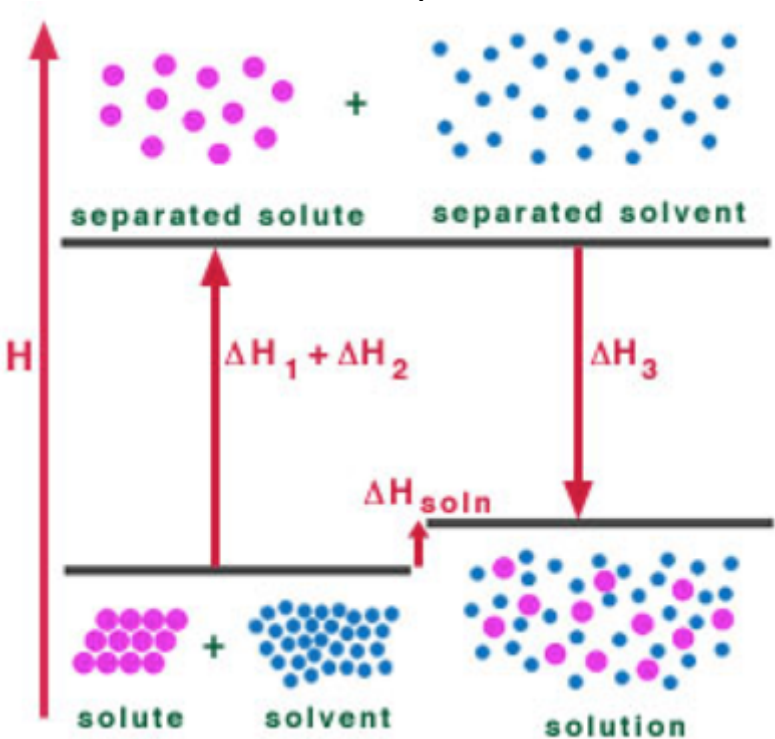
- 7.6.1. Entropie du mélange
- 7.6.2. Travail minimum de séparation
- 7.6.3. Séparation

7. Propriétés des solutions

7.2. Enthalpie de dissolution

Définition -

chaleur libérée ou absorbée par mole de substance qui se dissout pour former une solution très diluée, à pression constante.



Les molécules aux caractéristiques semblables peuvent agir réciproquement comme solvant et soluté.

règle de similitude

Dissolution d'un solide dans l'eau

(1) Séparation des molécules du solvant

Enthalpie réticulaire : ΔH_1

(2) Séparation des molécules du soluté

Enthalpie réticulaire : ΔH_2

(3) Dissolution des ions séparés

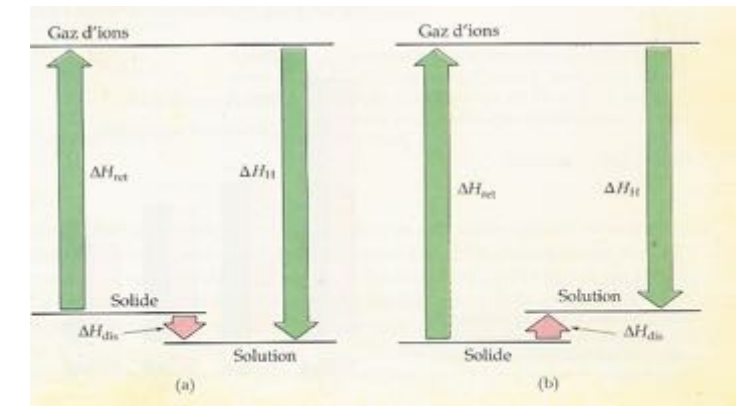
dans le solvant. ∆H₃

Pour H_2O : hydratation $\Delta H_3 = \Delta H_{hyd}$

$$\Delta H_{soln} = \Delta H_1 + \Delta H_2 + \Delta H_3$$

exotherme

endotherme



7.3.3. Produit de solubilité K_s

Solution saturée: équilibre entre soluté en solution

et soluté non dissous: $A_x B_y(s) \rightleftharpoons x \cdot A^{n+}(aq) + y \cdot B^{m-}(aq)$

Produit de solubilité:
$$K_s = \left[A^{n+}\right]^x \cdot \left[B^{m-}\right]^y \quad \left(\frac{mol}{l}\right)^{x+y}$$

$$K_s = a_{A^{n+}}^x a_{B^{m-}}^y$$

$$= \mathbf{x}^x \cdot \mathbf{y}^y \cdot \mathbf{s}^{(x+y)}$$

Solubilité molaire s = molarité d' une solution saturée = nombre de moles de soluté par litre de solution saturée (mol/L):

$$s = \sqrt[x+y]{\frac{K_s}{x^x \cdot y^y}}$$

7.3.5. L'effet de l'ion commun: précipitation

L'effet d'ion commun est la diminution de la solubilité d'un sel peu soluble en présence d'un sel soluble qui a un ion commun avec lui.

7.3.6. Prévoir la précipitation

On peut utiliser le produit de solubilité pour prévoir si un précipité a tendance à se former lorsqu'on mélange deux solutions.

7.3.7. Loi de Henry
$$s = k_H \cdot p$$
 en équilibre

 k_H : coefficient de Henry (mmol/atm L) [mM/atm]

7.4. Propriétés colligatif des solutions

7.4.1. Loi de Raoult: Abaissement de la pression de vapeur (p)

$$p = x_{solvant} \cdot p_{pur}$$

 p_{pur} : pression de vapeur du solvant pur $x_{solvant}$: fraction molaire du solvant

p : pression de vapeur du solvant dans la solution

7.4.2. Elévation de la température d'ébullition ($\Delta T_{\text{éb}}$)

$$\Delta T_{\acute{e}b} = K_{\acute{e}b} \cdot i \cdot m$$

 K_{eb} : (solvant) $K_{\acute{e}b}(H_2O) = 0.512$ °C kg/mol

m: Concentration du soluté (m, molal)

i: facteur de Van't Hoff (nombre de particules)

7.4.3. Abaissement de la température de congélation (ΔT_{cr})

$$\Delta T_{cr} = K_{cr} \cdot i \cdot m$$

 $K_{cr}(H_2O) = -1.86$ °C kg/mol

m: Concentration du soluté (m, molal)

i: facteur de Van't Hoff (nombre de particules)

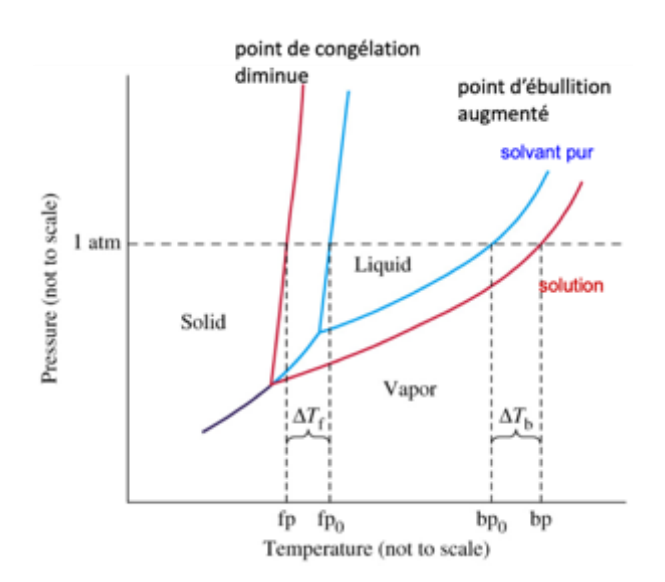
7.4.4. Pression osmosmotique (Π)

$$\Pi = R \cdot T \cdot i \cdot M$$

M: concentration molaire du soluté dans la solution

R: 8.314 J·K-1·mol-1 constante de gas

i: facteur de Van't Hoff (nombre de particules)

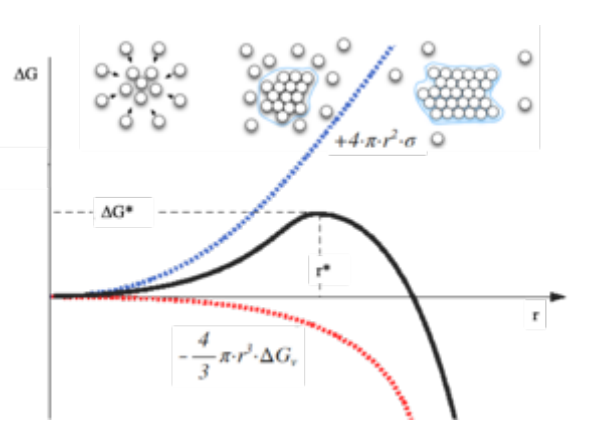


7.5. Cristallisation

Différencier pour trouver le point stationnaire (auquel le taux de changement d'énergie libre devient négatif). Pas à $\Delta G = 0$!!!

$$W = -\frac{4}{3}\pi \cdot r^3 \cdot \Delta G_v + 4 \cdot \pi \cdot r^2 \cdot \sigma$$

$$\frac{dW}{dr} = 0 \rightarrow r^* = \frac{2 \cdot \sigma}{\Delta G_v}$$

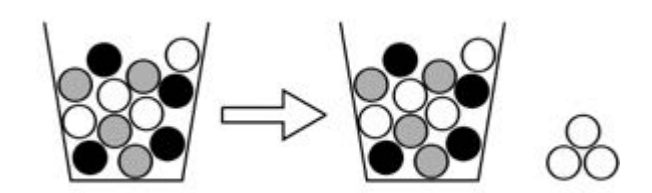


7.6.1. Entropie du mélange

$$\Delta S_{mix} = -R \cdot \sum_{i} x_i \cdot \ln(x_i)$$

7.6.3. Séparation Extraction $x = N_1/(N_1+N_2)$

$$w_{min}^{I} = T_0 \cdot R \cdot ln(\frac{1}{x_I})$$



8. Propriétés des métaux

8.1. L' état métallique: Caractéristiques des métaux

8.1.1. Modèle covalent de la liaison métallique :

Théorie des bandes

8.1.2. Les électrons dans les métaux

8.1.3. Energie des bandes

8.1.4. Structure des bandes

8.1.5. Electrons dans les solides

8.1.6. Conductivité

8.2. Les structures cristallines de base

8.2.1. Les trois prototypes

8.2.2. Les réseaux de Bravais

8.2.3. Les classes de cristal

8.2.4. Les structures cristallines des métaux

8.3. Les Phonons

8.3.1. La dispersion des phonons

8.4. Magnétisme

8.4.1. Moment magnétique des atomes

8.4.2. Induction magnétique (B) vs. champ magnétique (H)

8.6. Intermétallique et alliage

8.6.1. Diagramme de phase

8.6.2. Diagramme de phase de la bronze

8.7. Les métaux alcalins: Général

8.7.1. Corps simples

8.7.2. Réaction avec l'eau

8.7.3. Procèdé chlore-alcali

8.7.4. Procèdé Solvay

8.8. Métaux alcalinoterreux: Général

8.8.1. Corps simples

8.8.2. Oxydes et hydroxydes

8.9. La triade du cuivre

8.9.1. Corps simples

8.10. Les métaux ferreux

8.11. La famille des métaux platine

8.11.1. Corps simples

8.5. Proprieté des métaux

8.5.1. Conduction thermique

8.5.2. Chaleur spécifique

8.5.3. Loi de Dulong-Petit

8.5.4. Résistance electric

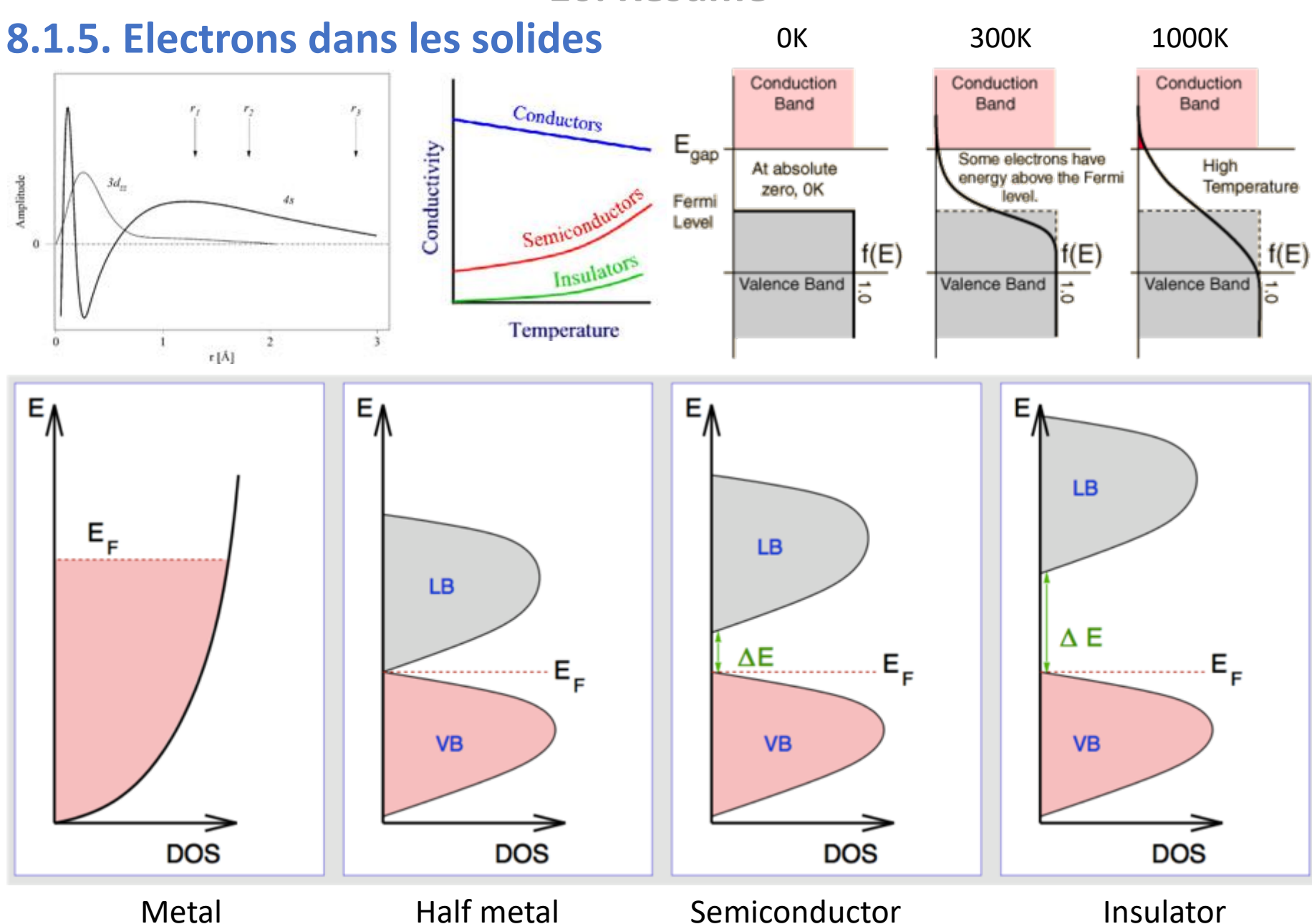
8. Propriétés des métaux

8.12. Complexes des métaux de transition

- 8.12.1. Métaux de transition d
- 8.12.2. États d'oxydation des éléments du bloc d
- 8.12.3. Complexes octaédrique des métaux de transition
- 8.12.4. Théorie du champ cristallin octaédrique
- 8.12.5. Déstabilisation des orbitales d induite par un ligand
- 8.12.6. Energie des complexes des métaux de transition
- 8.12.7. Énergie de séparation Δ_o et énergie d'appariement P

8.13. Propriétés des complexes des métaux de transition

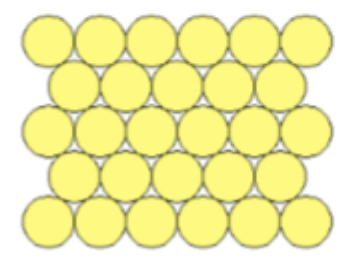
- 8.13.1. Propriétés magnétiques
- 8.13.2. Absorption des photon et transition t_{2g} e_g
- 8.13.3. Couleur des complexes des métaux de transition
- 8.13.4. Couleur du complexe de $[Cu(H_2O)_6]^{2+}$
- 8.13.5. Champ fort (faible spin) / champ faible (haut spin)
- 8.13.6. Théorie du champ cristallin



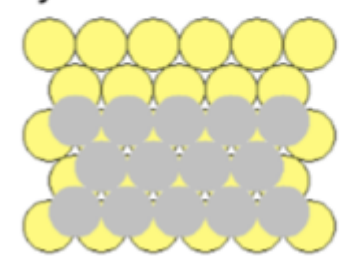
8.2. Les structures cristallines de base

The three most common basic crystal structures are fcc, hcp, and bcc.

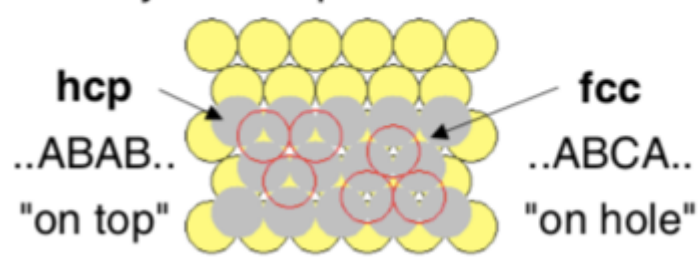
first layer: hexagonally close-packed



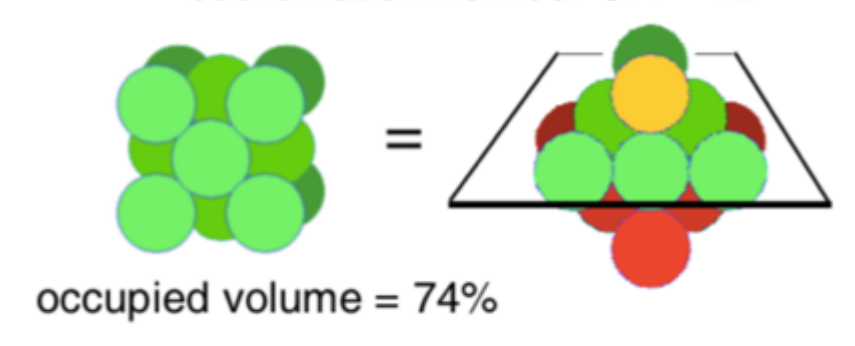
second layer: sits in hollow sites



third layer: two possible locations



fcc: face–centred cubic, coordination number CN = 12



hcp: hexagonal close-packed, CN = 12



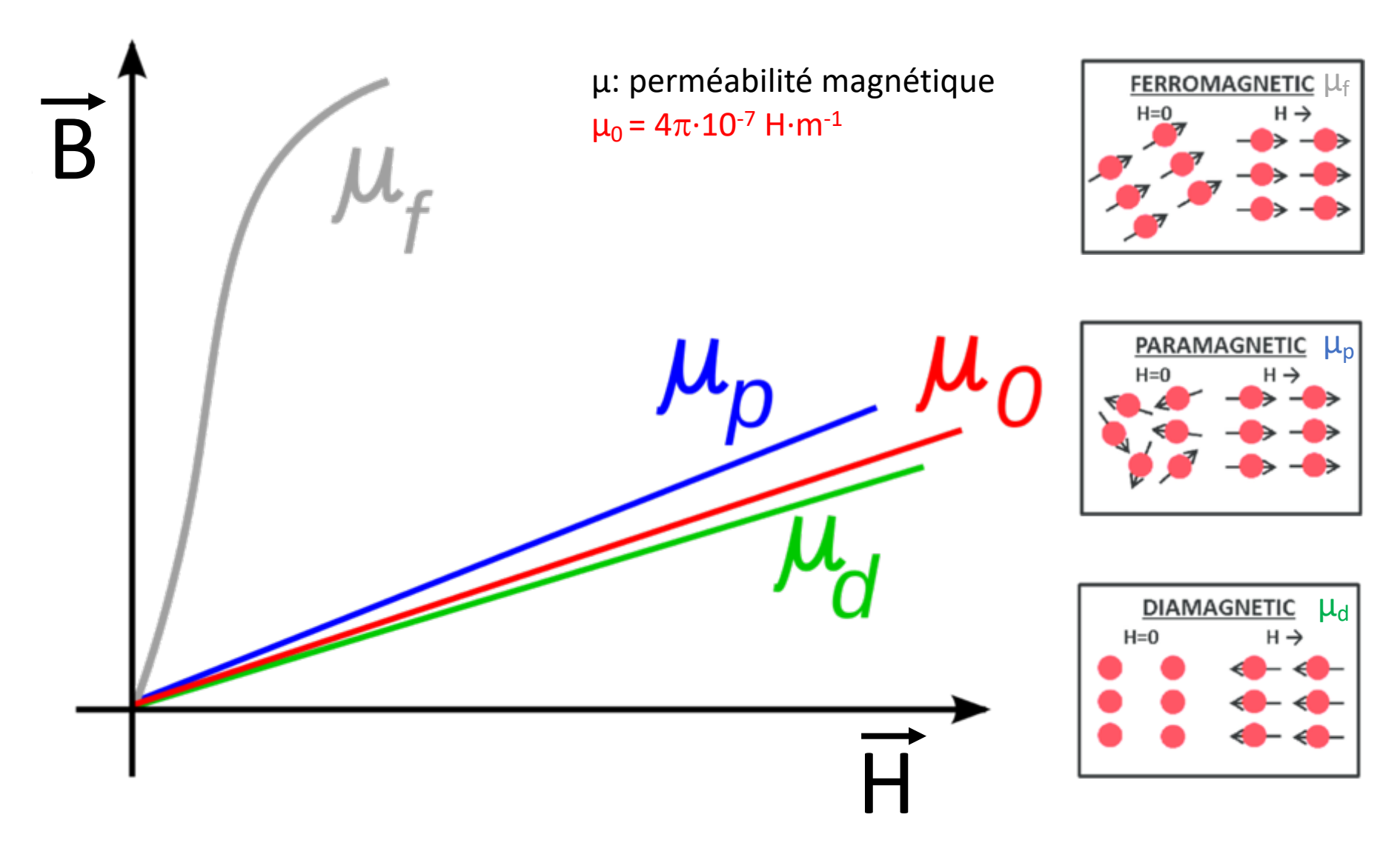
occupied volume = 74%

bcc: body-centred cubic, CN = 8



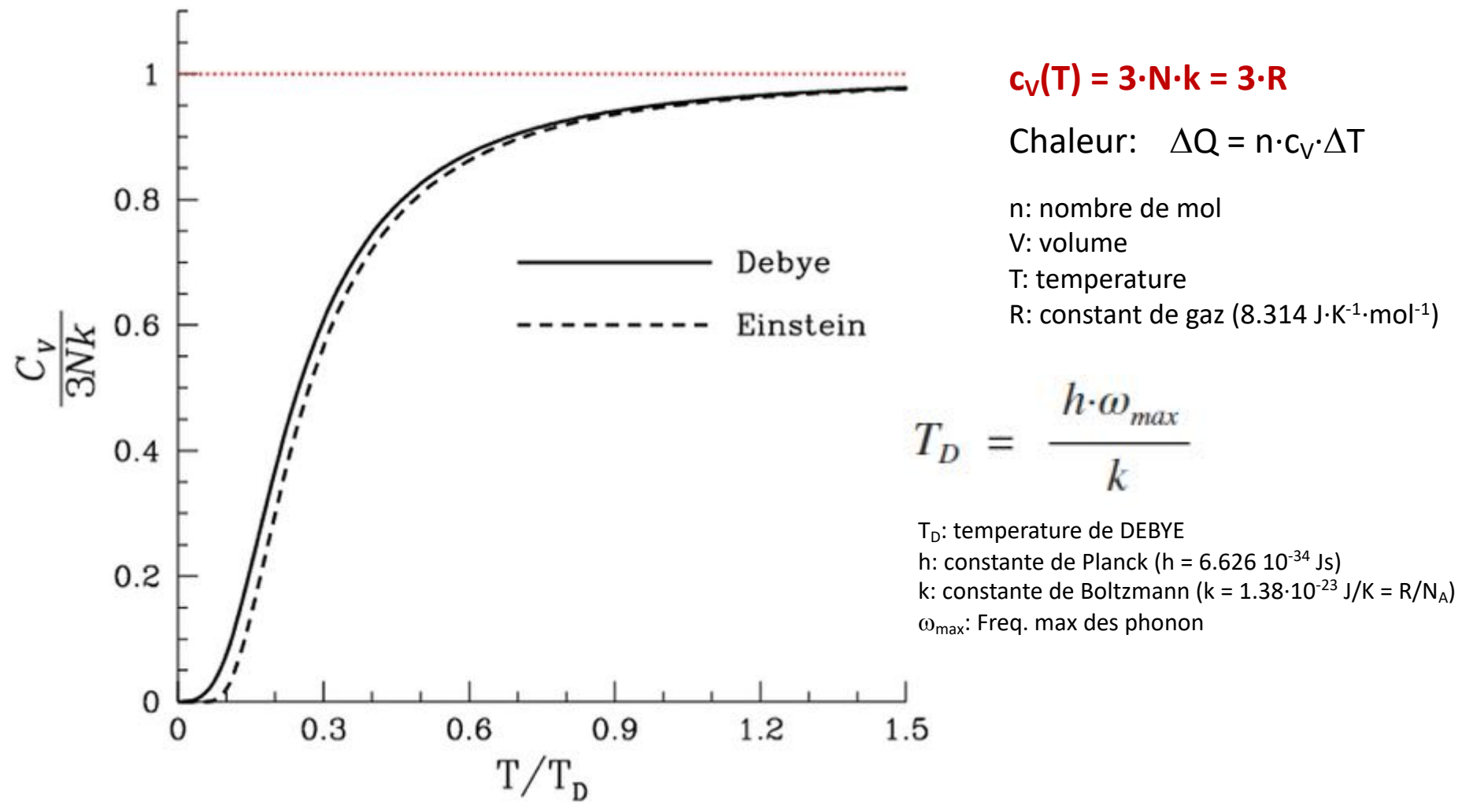
occupied volume = 68%

8.4.2. Induction magnétique (B) vs. Champ magnétique (H)

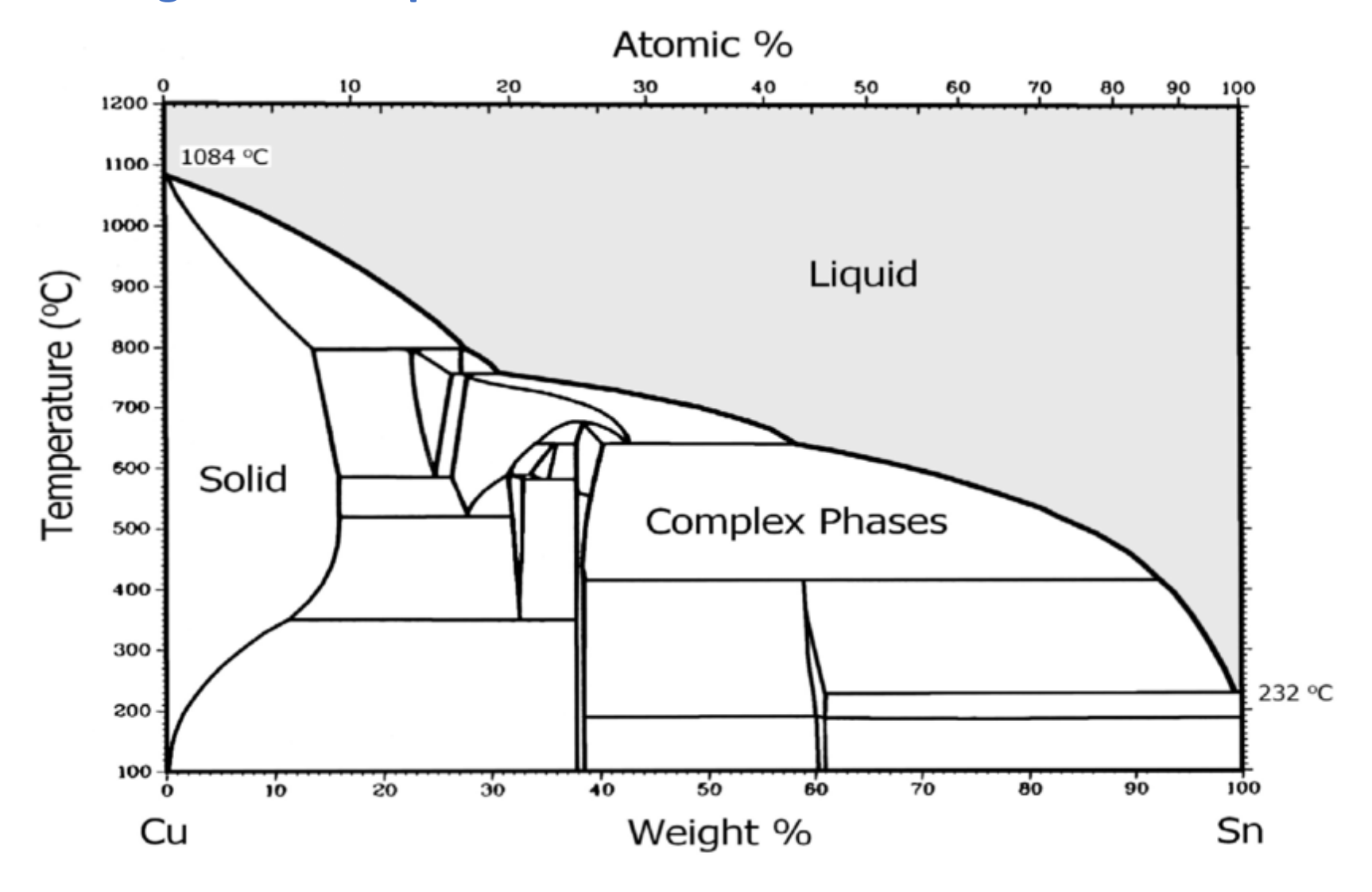


8.5.2. Chaleur spécifique (c_V)

Cours de la chaleur spécifique $c_V = dQ/dT$ selon le modèle de Debye. Dans ce modèle, les matériaux ne diffèrent que par la valeur des températures de Debye.



8.6.2. Diagramme de phase de la bronze



8.7. Les métaux alcalins: Généralités

Les corps simples alcalins sont des métaux mous qui sont extrêmement réactifs. Il faut les stocker sous atmosphère inerte (N_2 ou même Ar pour Li).

Métal	P. F. [°C]	E° [V]	X
Li	180.5	- 3.03	1.0
Na	97.8	- 2.71	1.0
K	63.2	- 2.92	0.9
Rb	39.0	- 2.93	0.9
Cs	28.5	- 2.93	0.9

Réactivité des métaux alcalins à l'air

$$2 \operatorname{Li}_{(s)} + \frac{1}{2} \operatorname{O}_{2(g)} \longrightarrow \operatorname{Li}_2 \operatorname{O}_{(s)}$$
 oxyde
 $2 \operatorname{Na}_{(s)} + \operatorname{O}_{2(g)} \longrightarrow \operatorname{Na}_2 \operatorname{O}_{2(s)}$ peroxyde
 $\operatorname{K}_{(s)} + \operatorname{O}_{2(g)} \longrightarrow \operatorname{KO}_{2(s)}$ superoxyde
Le lithium réagit même avec l'azote :
 $3 \operatorname{Li}_{(s)} + \frac{1}{2} \operatorname{N}_{2(g)} \longrightarrow \operatorname{Li}_3 \operatorname{N}_{(s)}$

Réactivité des métaux alcalins envers l'eau (réaction la plus caractéristique)

$$M_{(s)} + H_2O_{(l)} \longrightarrow M^+_{(aq)} + OH^-_{(aq)} + \frac{1}{2}H_{2(g)}$$
 $M = Li, Na, K, Rb, Cs$

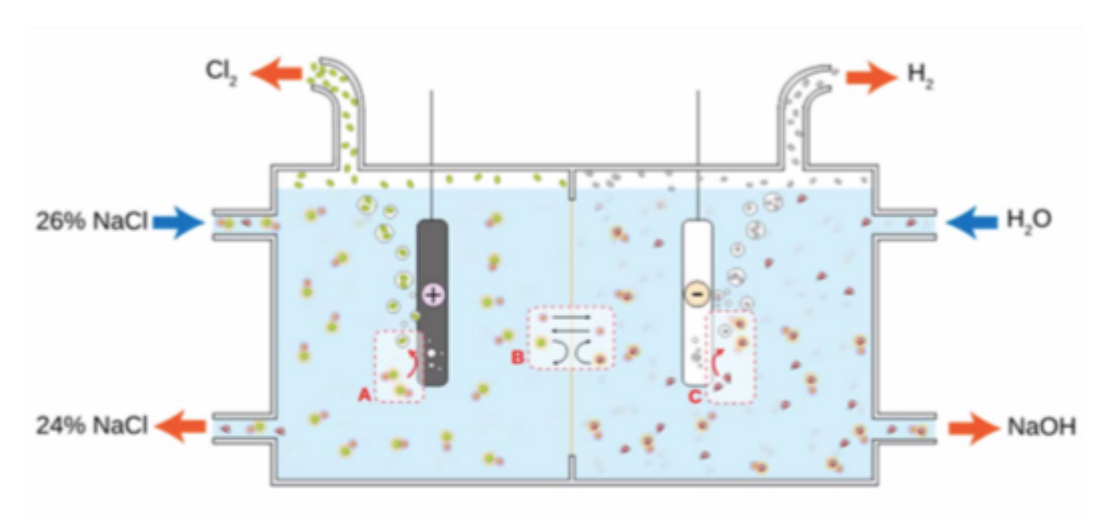
Elaboration des métaux alcalins par électrolyse des chlorures en fusion

$$MCI_{(I)} \xrightarrow{\text{électrolyse}} M_{(I)} + \frac{1}{2} CI_{2(g)}$$
 $M = Li, Na, K, Rb, Cs$

8.7.3. Procèdé chlore-alcali

Le procédé chlore-alcali permet de farbiquer à la fois les trois produits de base H_2 , Cl_2 et NaOH de la production industrielle par électrolyse de saumure NaCl/ H_2O , dont la capacité mondiale est estimée à $50 \cdot 10^6$ tonnes par an.

Processus électrochimique global



La demi-réaction 2 H⁺ + 2 e⁻ = H₂ se déroule à la cathode et la demi-réaction 2 Cl⁻ = Cl₂ + 2 e⁻ à l'anode. La membrane semiperméable permet le passage des cations Na⁺, raison pour laquelle NaOH s'enrichit dans la chambre cathodique.

8.8. Métaux alcalinoterreux: Oxydes et hydroxydes

Les oxydes alcalinoterreux sont accessibles par décomposition thermique des carbonates correspondants, et les hydroxydes alcalinoterreux par hydrolyse des oxydes ainsi obtenus.

Décomposition thermique des carbonates alcalinoterreux et hydrolyse

$$MCO_{3(s)} \xrightarrow{\Delta} MO_{(s)} + CO_{2(g)}$$
 $M = Be, Mg, Ca, Sr, Ba$
 $MO_{(s)} + H_2O_{(l)} \longrightarrow M(OH)_{2(aq)}$ $M = Be, Mg, Ca, Sr, Ba$

Chimie basée sur le calcaire comme matériau de construction

$$CaCO_{3(s)} \xrightarrow{1000^{\circ}C} CaO_{(s)} + CO_{2(g)}$$
 Calcination du calcaire : chaux vive $CaO_{(s)} + H_2O_{(l)} \longrightarrow Ca(OH)_{2(aq)}$ Extinction de la chaux vive : chaux éteinte

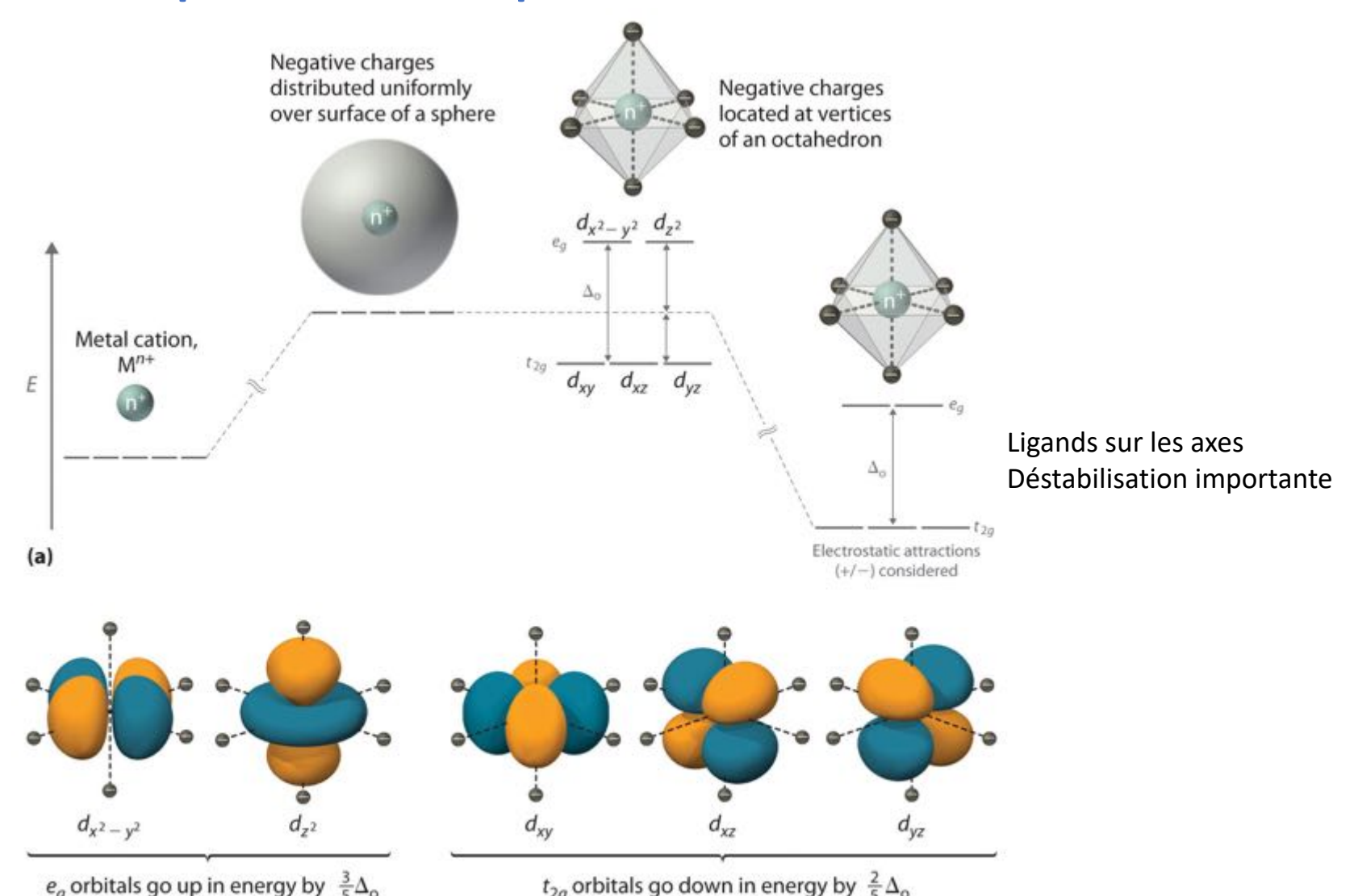
Le mortier (utilisé pour le briquetage) est un mélange de chaux éteinte, de sable et d'eau. Le durcissement du mortier est dû à la formation de calcaire suite à l'absorption du gaz carbonique.

$$Ca(OH)_{2(aq)} + CO_{2(g)} \longrightarrow CaCO_{3(s)} + H_2O_{(g)}$$

 $CaCO_3$ est aussi utilisé en sidérurgie et pour la production de papier, d'aliments et de cosmétiques, CaO pour la fabrication de ciment et de béton et $Ca(OH)_2$ comme antiacide pour la neutralisation de gaz, du sol et des eaux.

8.12. Complexes des métaux de transition

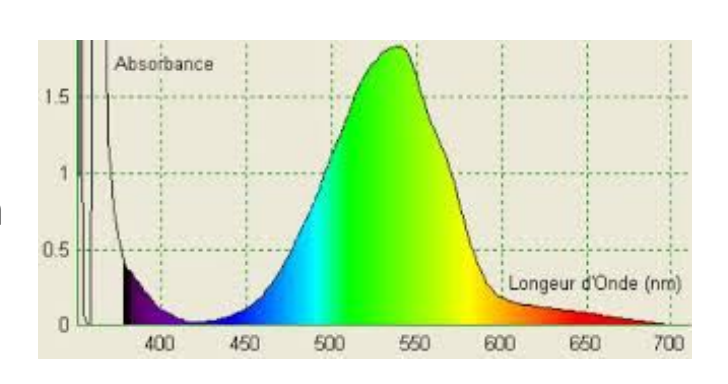
8.12.3. Complexes octaédrique des métaux de transition

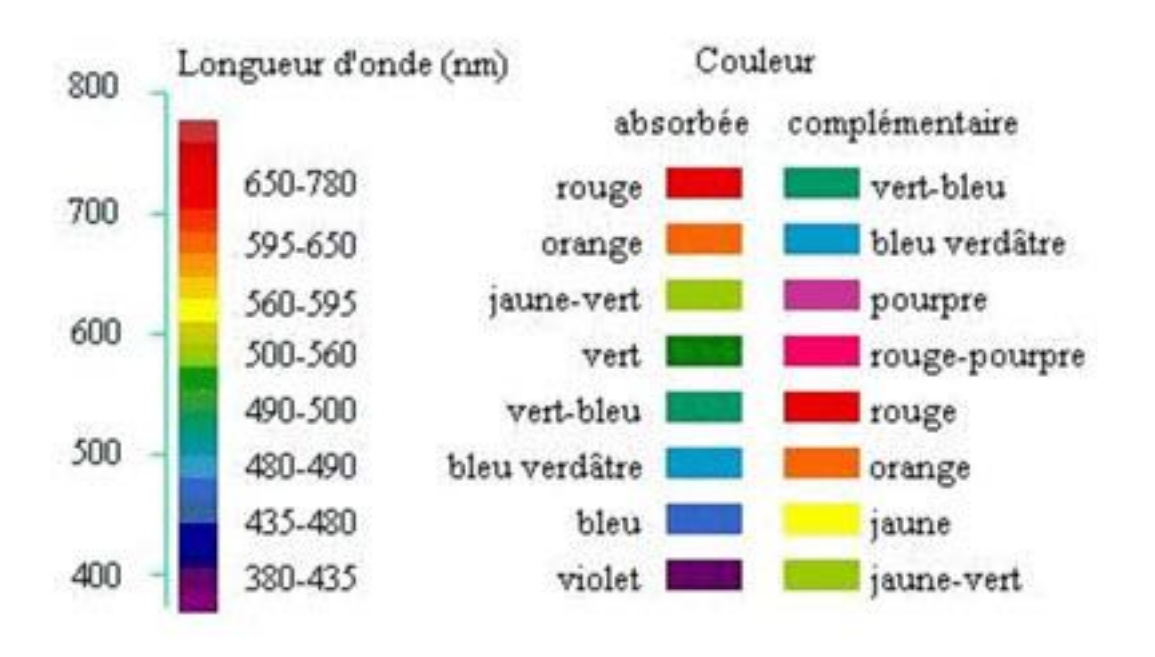


8.13.3. Couleur des complexes des métaux de transition

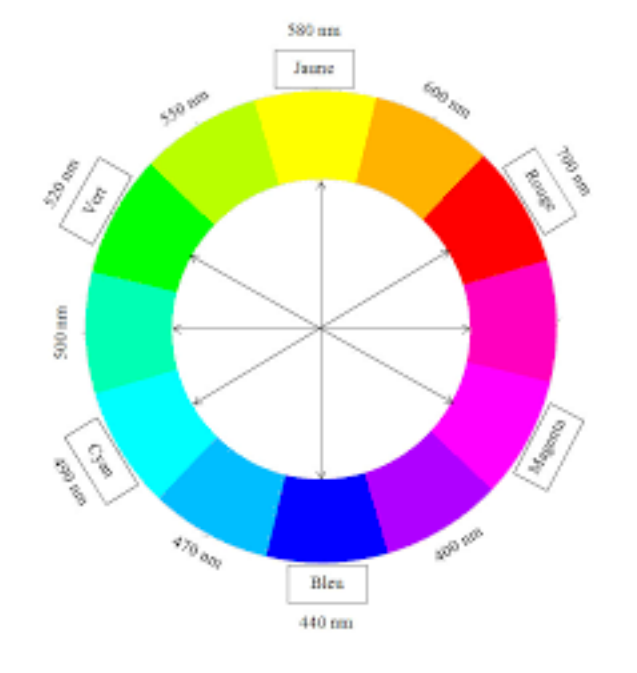
On explique la **couleur** des complexes des éléments de transition par des **transitions électroniques** (du type d-d).

Ces transitions résultent de l'adsorption d'un photon de la lumière visible et la couleur observée correspond à la couleur complémentaire de la lumière absorbée.



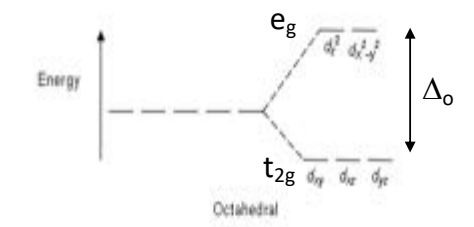


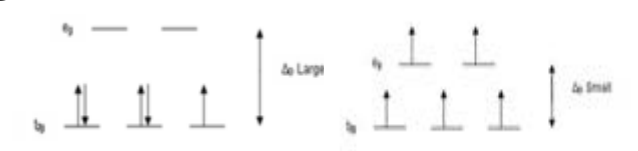
couleur complémentaire



8.13.5. Champ fort (faible spin) / champ faible (haut spin)

- 1. Écrire la configuration électronique des cations des métaux Fe²⁺ est 1s² 2s² 2p⁶ 3s² 3p⁶ 3d⁶ de transition
- 2. Connaître le diagramme de séparation des énergies induite par un arrangement octaédrique des ligands. Connaître la nomenclature des **orbitales t_{2g}, e_{g.}**
- 3. En utilisant la théorie du champ cristallin octaédrique, écrire la configuration électronique de ces cations dans un complexe à champ fort (spin faible) et champ faible (spin fort)
- 4. Reconnaître un complexe diamagnétique et paramagnétique. Calculer le spin total. Calculer le moment magnétique (en multiple de μ_B)
- 5 Calculer la longueur d'onde (et la fréquence) de la lumière absorbée par ces complexes à partir de l'énergie du champ **cristallin** Δ_0 (et vice versa)
- 6. Estimer la couleur d'un complexe à partir d'une valeur de Δ_0 en utilisant le diagramme des couleurs complémentaires





$$\mu = \mu_B \sqrt{n(n+2)}$$

n: nombre d'électrons célibataires $\mu_{\rm B}$ = 5.79 10⁻⁵ eV/T

$$\lambda = h \cdot c/\Delta_o$$

 $h = 6.62608 \times 10^{-34} \text{ J s}$ $c = 2.997925 \times 10^8 \text{ m/s}$



9. Chimie de la surface

9.1. Surface et Interface

- 9.1.1. "Dispersion", l'autre relation A/V
- 9.1.2. Nombre d'atome à la surface
- 9.1.4. La surface spécifique d'un particule (A/m)
- 9.1.5. Représentation schématique d'une surface
- 9.1.6. Qu'est-ce qu'une interface?
- 9.1.7. Différents scénarios de surface et d'interface
- 9.1.8. Frittage

9.2. La structure d'une surface

- 9.2.1. Structure model de la surface
- 9.2.2. Les trois structures de base sont fcc, hcp et bcc
- 9.2.3. Faces en cristal et Indices Miller
- 9.2. 4. Réseau 2D simple
- 9.2.5. Surfaces de cristal idéales
- 9.2.6. Surfaces cristallines Reconstruction et super-réseaux
- 9.2.7. Défauts de surface et structures
- 9.2.8. Sites de surface et les adsorbant
- 9.2.9. Notation de Wood et Notation de matrice

9.3. Propriétés des surfaces

- 9.3.1. Caractéristiques électroniques et vibratoires des surfaces
- 9.3.2. Énergie de surface
- 9.3.3. Tension surface
- 9.3.4. Mesure de la tension de surface

9.4. Physisorption

- 9.4.1. Adsorption à la surface
- 9.4.2. Physisorption et chimisorption
- 9.4.5. Lennard-Jones Potentiel
- 9.4.6. Isotherme d'adsorption de Langmuir
- 9.4.7. BET et autres isothermes d'adsorption
- 9.4.7. BET et autres isothermes d'adsorption
- 9.4.8. Model d'adsorption BET
- 9.4.9. Type de l'isotherme d'adsorption BET
- 9.4.10. Description de l'isotherme d'adsorption BET
- 9.4.11. Mesurer la surface spécifique au moyen de BET

9.5. Chimisorption

- 9.5.1. Désorption thermique
- 9.5.2. Chaleur d'adsorption par rapport à la couverture
- 9.5.3. Spectroscopie de désorption thermique
- 9.5.4. Déterminer l'énergie d'activation
- 9.5.5. Détermination du temps de résidence
- 9.5.6. Surfaces équipotentielles pour l'énergie
- d'interaction H₂ et Cu
- 9.5.7. Échange isotopique H, D
- 9.5.8. Calcul DFT de l'énergie de H
- 9.5.9. Energie d'un atome de H dans un métal (calcule DFT)

9. Chimie de la surface

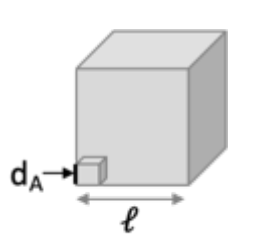
9.1. Surface et Interface

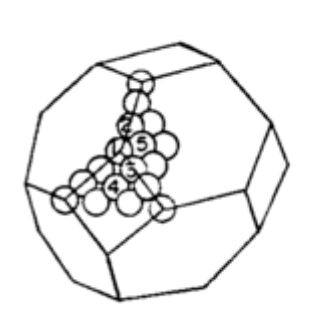
9.1.1. "Dispersion", l'autre relation A/V

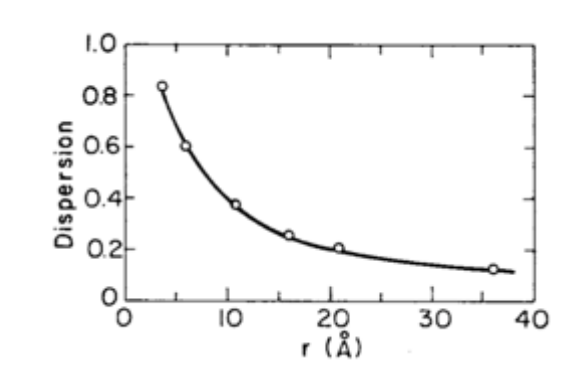
La surface spécifique d'un particule (A/m)

Surface specific:
$$S = \frac{surface}{poids}$$

$$S = \frac{6 \cdot \ell^2}{\rho \cdot \ell^3} = \frac{6}{\rho \cdot \ell}$$



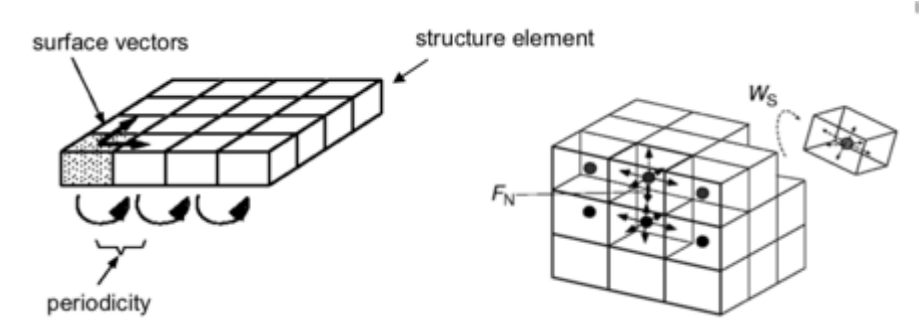




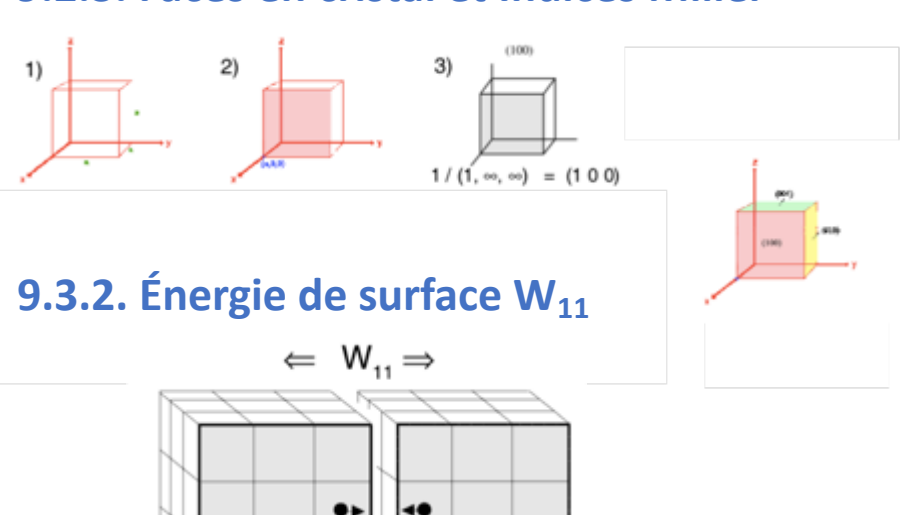
Nombre d'atome a la surface: calcule exacte $N_s = N_{tot} - N_V$

$$\frac{N_s}{N} = 6 \cdot \frac{d_A}{\ell} - 12 \cdot \frac{d_A^2}{\ell^2} + 8 \frac{d_A^3}{\ell^3}$$

9.1.5. Représentation schématique d'une surface



9.2.3. Faces en cristal et Indices Miller



9.4. Physisorption

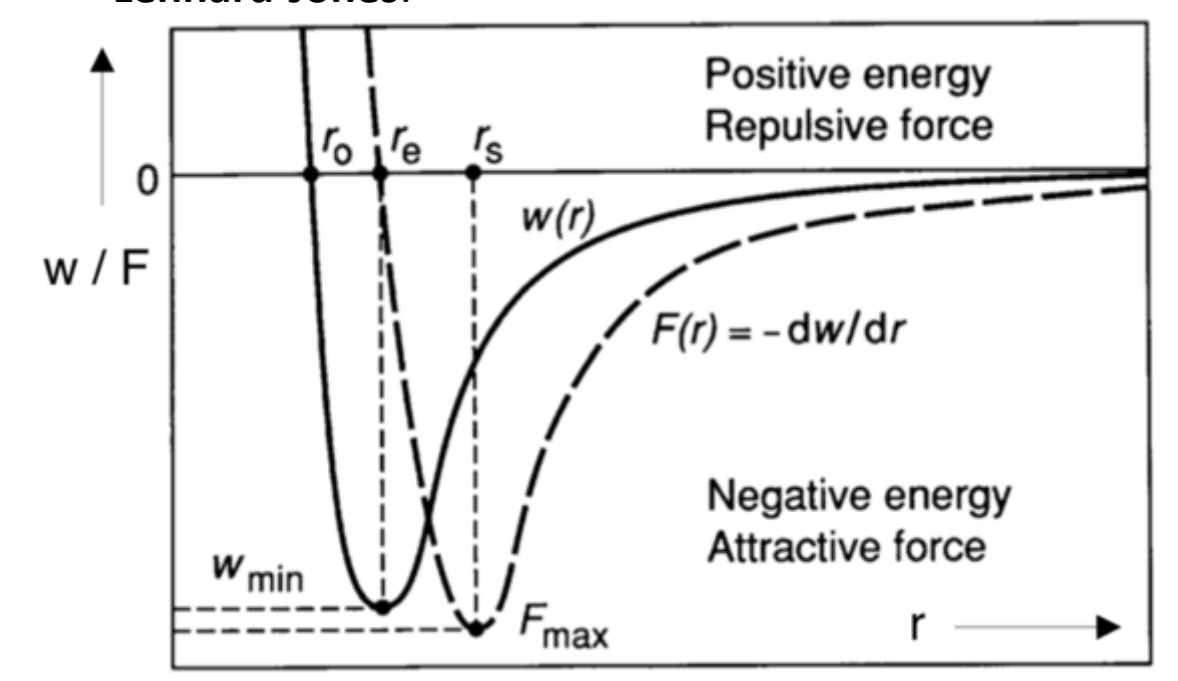
- van der Waals: écart de comportement des gaz réels par rapport à la loi des gaz parfaits

(p·V = n·R·T): $(p + \frac{a}{V^2})(V - b) = R \cdot T$ volume exclu d'atomes

molécules attrayants forces intermoléculaires (forces de van der Waals)

 $w(r) = -\frac{A}{r^n} + \frac{B}{r^m}$

- Mie: "potentiel de paire" d'interaction générale pour décrire les interactions complexes intermoléculaires:
- Lennard-Jones:



interaction de **van der Waals** attrayante à long terme

terme attractif

$$w(r) = -\frac{A}{r^6} + \frac{B}{r^{12}}$$

"sphère dure" à très courte portée

terme répulsif

9.4.6. Isotherme d'adsorption de Langmuir

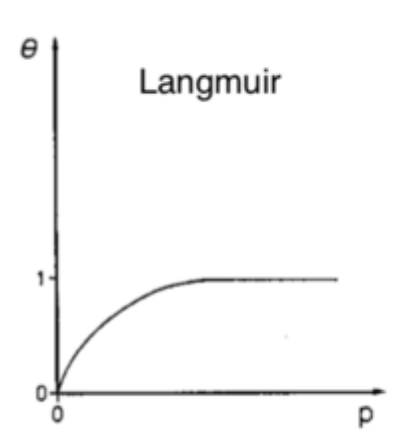
Isotherme de Henry: la couverture de surface θ dépend linéairement de la pression p (cas particulier de Langmuir pour θ = 0) $\theta = k_H \cdot p$

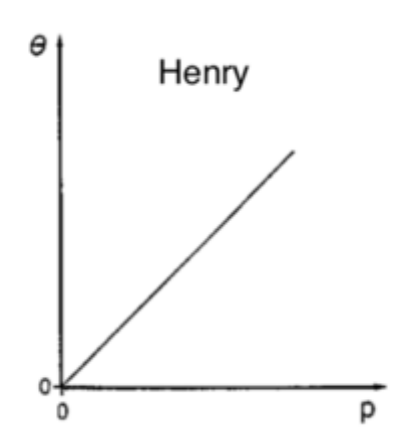
Isotherme de Langmuir: hypothèse de a) couverture maximale de la monocouche (θ = 1); b) pas d'interaction entre les atomes / molécules d'adsorbat; c) énergie de liaison indépendante de la couverture; e) équilibre thermodynamique du taux d'adsorption (k_a) et de désorption (k_d), ($d\theta/dt$) égal

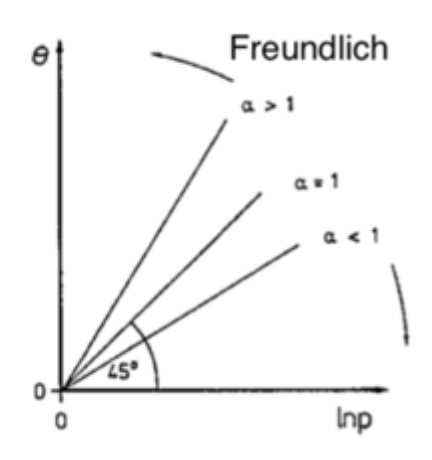
adsorption:
$$\frac{d\theta}{dt} = k_a \cdot p \cdot N \cdot (1-\theta)$$
 désorption: $\frac{d\theta}{dt} = k_d \cdot N \cdot \theta \longrightarrow \theta = \frac{K \cdot p}{(1 + K \cdot p)}, \quad K = \frac{k_a}{k_d}$

Isotherme de Freundlich: modifications de l'enthalpie d'adsorption de manière logarithmique $\theta = K \cdot p^{\alpha}$

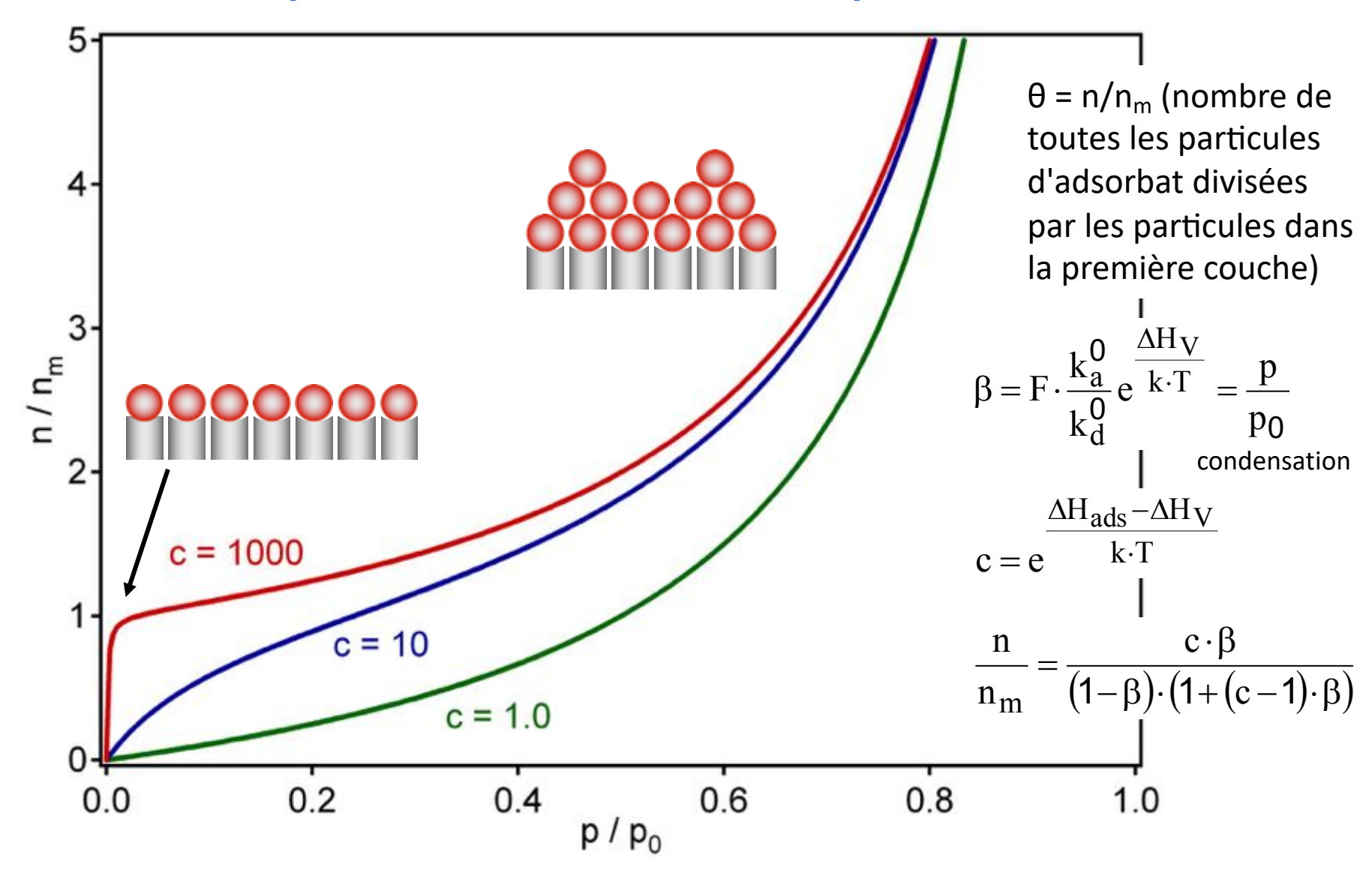
Isotherme de Tempkin: modifications de l'enthalpie de l'adsorption $\theta = c_1 \cdot \ln(c_2 \cdot p)$







9.4.10. Description de l'isotherme d'adsorption BET



9.4.11. Mesurer la surface spécifique au moyen de BET

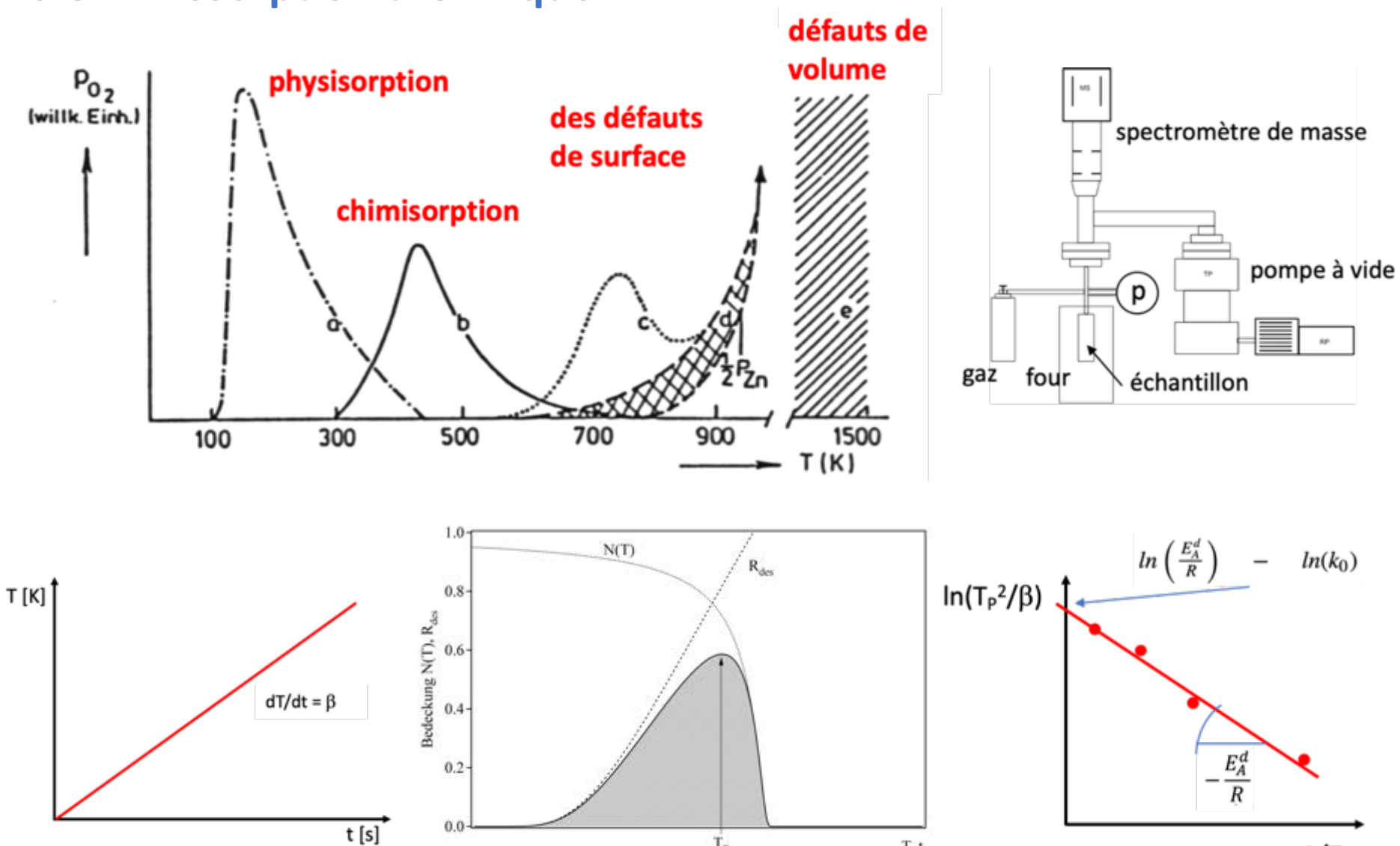
Exercices: Calculer la surface d'une monocouche des gaz suivants: N2, H2, CO2, Ar

Gas	ρ	VdWaals b	M	Α	d [Å]	d _{VdW} [Å]
	$[g/cm^3]$	[cm³·mol-1]	[g·mol⁻¹]	[m²·mol ⁻¹]		
H_2	0.082	26.61	2	71022	3.43	3.53
He	0.147	23.8	4	76397	3.56	3.40
N_2	0.808	38.7	28	89759	3.86	4.01
CO_2	1.562	42.67	44	78180	3.60	4.14
Ar	1.43	32.01	40	77747	3.59	3.76
H_2O	0.9998	30.49	18	58001	3.10	3.70

$$d = \left(\frac{V_M}{N_A}\right)^{\frac{1}{3}} = \left(\frac{M}{\varrho \cdot N_A}\right)^{\frac{1}{3}} \qquad d = \left(\frac{b}{N_A}\right)^{\frac{1}{3}}$$

$$A = \frac{V_M}{N_A} \left(\frac{M}{\varrho \cdot N_A}\right)^{-\frac{1}{3}} = \left(\frac{M}{\varrho}\right)^{\frac{2}{3}} \left(\frac{1}{N_A}\right)^{-\frac{1}{3}}$$





T, t

 $1/T_P$